

# Sur la cohomologie des faisceaux $\mathbb{Z}$ -adiques entiers sur les corps locaux

Weizhe Zheng

## Résumé

On étudie le comportement des faisceaux  $\mathbb{Z}$ -adiques entiers sur les schémas de type fini sur un corps local par les six opérations et le foncteur des cycles proches.

## 1 Introduction

Soient  $R$  un anneau de valuation discrète hensélien de corps résiduel fini de caractéristique  $p$ ,  $K$  son corps des fractions. Un tel corps sera appelé *corps local*. Soit  $\eta = \text{Spec} K$ .

Soit  $X$  un schéma de type fini sur  $\eta$ . On désigne par  $\mathfrak{X}$  l'ensemble de ses points fermés. Pour  $x \in \mathfrak{X}$  le corps résiduel  $\kappa(x)$  de  $X$  en  $x$  est une extension finie de  $K$ . On note  $R_x$  son anneau des entiers,  $x_0$  le point fermé de  $\text{Spec} R_x$ . Soient  $\mathfrak{x}$  un point géométrique de  $X$  au-dessus de  $x$  de corps résiduel  $\kappa(\mathfrak{x})$  une clôture séparable de  $\kappa(x)$ ,  $R_{\mathfrak{x}}$  la normalisation de  $R_x$  dans  $\kappa(\mathfrak{x})$ ,  $\mathfrak{x}_0$  le point fermé de  $\text{Spec} R_{\mathfrak{x}}$ . Soit  $F_{\mathfrak{x}} \in \text{Gal}(\kappa(\mathfrak{x}_0) = \kappa(x_0))$  le Frobenius géométrique qui envoie  $a$  dans  $a^{1-\mathfrak{q}}$ , où  $\mathfrak{q} = [\kappa(\mathfrak{x}_0) : \kappa(x_0)]$ .

Fixons un nombre premier  $l \neq p$ . On désigne par  $\overline{\mathbb{Q}}_1$  une clôture algébrique de  $\mathbb{Q}_1$ . Soit  $F$  un  $\overline{\mathbb{Q}}_1$ -faisceau sur  $X$ . D'après le théorème de monodromie locale, les valeurs propres d'un relèvement  $\rho_x \in \text{Gal}(\kappa(\mathfrak{x}) = \kappa(x))$  de  $F_x$  agissant sur  $F_x$  sont bien définies à multiplication près par des racines de l'unité [Del80, 1.7.4].

Rappelons qu'on dit que  $F$  est *entier* [DE06, 0.1] si les valeurs propres de  $\rho_x$  sont des entiers algébriques pour tout  $x \in \mathfrak{X}$ . Cette intégralité est stable par image directe à support propre [ibid., 0.2]. La démonstration utilise l'analogie de ce résultat sur un corps fini [SGA7, XXI 5.2.2].

L'objet de cet article est d'étudier, plus généralement, le comportement de l'intégralité par les foncteurs usuels : les six opérations et le foncteur des cycles proches. De façon plus précise, on examine le comportement par ces foncteurs de la divisibilité des valeurs propres de  $\rho_x$  par des puissances de  $\mathfrak{q}$ . On introduit pour cela une mesure de la  $\mathfrak{q}$ -divisibilité inspirée des « jauges » de Mazur-Ogus. On prouve notamment les résultats espérés dans [Ill06, 5.5].

Dans un travail ultérieur [Zhe], on examine le comportement de la rationalité et de l'indépendance de  $l$  par les mêmes opérations.

Les résultats concernant les six opérations sont exposés au § 2. Au § 3 on traite le cas crucial de  $R \rightarrow F$ , pour l'inclusion  $j : U \rightarrow X$  du complément d'un diviseur à croisements normaux  $D$  dans un schéma  $X$  lisse sur  $\eta$  et d'un faisceau  $F$  lisse sur  $U$  et modérément ramifié le long de  $D$ . Les démonstrations des résultats du § 2 sont données au § 4. L'ingrédient essentiel est un théorème de de Jong, grâce auquel on se réduit au cas traité au § 3 par les techniques usuelles de descente cohomologique. Le résultat principal du § 5 est la

---

Date : 29 août 2007.

W. Zheng, Université Paris-Sud 11, Mathématiques, Bât. 425, 91405 Orsay Cedex, France. Courriel : [weizhe.zheng@math.u-psud.fr](mailto:weizhe.zheng@math.u-psud.fr)

Classification mathématique par sujets (2000) : 14F20, 14G20, 11G25, 14D05.

Mots clefs : intégralité, cohomologie  $\mathbb{Z}$ -adique, cycles proches.

stabilité de l'intégralité par le foncteur des cycles proches  $R$ . À nouveau, l'ingrédient clé est un théorème de de Jong, qui permet de se ramener au cas d'un couple strictement semi-stable et d'un faisceau lisse sur le complément du diviseur  $D$  réunion de la fibre spéciale et des composantes horizontales et modérément ramifié le long de  $D$ . L'étude de ce cas, plus délicate qu'on ne pouvait s'y attendre, repose sur une compatibilité technique (5.6 (ii)) généralisant [Ill02, 1.5 (a)]. Au § 6 on généralise la notion d'intégralité aux champs algébriques.

Je remercie chaleureusement L. Illusie pour m'avoir suggéré ce sujet, pour son aide à la composition de cet article, et pour sa lecture minutieuse des diverses versions du manuscrit. Je suis reconnaissant à G. Laumon pour une simplification de la démonstration de 5.6 (ii). Je remercie également O. Gabber, F. Orgogozo et le rapporteur pour leurs remarques et suggestions.

## 2 Intégralité et six opérations

On conserve les notations du § 1. On désigne par  $\overline{Q}$  la clôture algébrique de  $Q$  dans  $C$ . Pour  $r \geq 0$ , on note  $\mathfrak{q}^r$  l'unique élément de  $\overline{Q} \setminus R_{>0}$  vérifiant  $(\mathfrak{q}^r)^b = a$ , où  $a, b \in \mathbb{Z}$  sont tel que  $r = \frac{a}{b}$ ,  $b \neq 0$ . Soit  $X$  un schéma de type fini sur  $\eta$ .

**Définition 2.1.** Fixons un plongement  $\iota : \overline{Q} \hookrightarrow \overline{Q_1}$ . On dit qu'un  $\overline{Q_1}$ -faisceau  $F$  sur  $X$  est  $r$ -entier (resp.  $r$ -entier inverse) si pour tout point fermé  $x$  de  $X$ , et toute valeur propre  $\alpha$  de  $\iota_x$  agissant sur  $F_x$ ,  $\alpha = \iota(\mathfrak{q}^r)$  (resp.  $\iota(\mathfrak{q}^r) = \alpha$ ) est entier sur  $Z$ , où  $\mathfrak{q} = \mathfrak{p} \in \mathbb{Z} \setminus \{0\}$ . Cette définition ne dépend pas des choix de  $\iota_x$  et de  $\iota$ . On dit que  $F$  est *entier* (resp. *entier inverse*) s'il est 0-entier (resp. 0-entier inverse).

Les  $\overline{Q_1}$ -faisceaux entiers (resp.  $r$ -entiers, resp. entiers inverses, resp.  $r$ -entiers inverses) sur  $X$  forment une sous-catégorie épaisse [Gro57, 1.11] de  $M_{\text{od}_c}(X; \overline{Q_1})$ , notée  $M_{\text{od}_c}(X; \overline{Q_1})_{\text{ent}}$  (resp.  $M_{\text{od}_c}(X; \overline{Q_1})_{r\text{-ent}}$ , resp.  $M_{\text{od}_c}(X; \overline{Q_1})_{\text{ent}^{-1}}$ , resp.  $M_{\text{od}_c}(X; \overline{Q_1})_{r\text{-ent}^{-1}}$ ).

Soient  $K^0$  une extension finie de  $K$ ,  $Z$  un schéma de type fini sur  $K^0$ ,  $G \in M_{\text{od}_c}(Z; \overline{Q_1})$ . Alors  $G$  est  $r$ -entier (resp.  $r$ -entier inverse) relativement à  $K^0$  si et seulement s'il est  $r$ -entier (resp.  $r$ -entier inverse) relativement à  $K$ .

Rappelons que pour les schémas  $X$  séparés de type fini sur un schéma  $S$  régulier de dimension  $\leq 1$ , et en particulier sur  $\eta$ , on dispose, par [Eke90, § 6], d'une catégorie triangulée  $D_c^b(X; \overline{Q_1})$  et d'un formalisme de six opérations :  $Rf_*$ ,  $Rf_!$ ,  $f^*$ ,  $Rf^!$ ,  $RHom$ . La catégorie  $D_c^b(X; \overline{Q_1})$  est la 2-limite inductive des catégories  $D_c^b(X; E_\lambda)$ , où  $E_\lambda$  parcourt les extensions finies de  $\overline{Q_1}$  contenues dans  $\overline{Q_1}$ . Si  $O_\lambda$  est l'anneau des entiers de  $E_\lambda$ ,  $D_c^b(X; E_\lambda)$  est déduite de la catégorie  $D_c^b(X; O_\lambda)$  définie dans [ibid.] par extension des scalaires de  $O_\lambda$  à  $E_\lambda$ . Le formalisme construit dans [ibid.] pour  $D_c^b(X; O_\lambda)$  se transpose trivialement.

Ce formalisme a un sens pour les schémas de type fini sur  $S$  (pas nécessairement séparés), et ce n'est que pour certaines opérations ( $Rf_!$  et  $Rf^!$ ) qu'on a besoin d'une hypothèse de séparation sur les morphismes. Pour un formalisme sans hypothèse de séparation, voir l'appendice (§ 6).

La définition qui suit est inspirée de la notion des « jauges » de Mazur-Ogus [BO78, 8.7].

**Définition 2.2.** Soit  $\varepsilon : Z \rightarrow \overline{Q}$  une fonction. On dit qu'un objet  $K \in D_c^b(X; \overline{Q_1})$  est *entier* (resp.  $\varepsilon$ -entier, resp. *entier inverse*, resp.  $\varepsilon$ -entier inverse) si pour tout  $i \in \mathbb{Z}$ ,  $H^i(K)$  est entier (resp.  $\varepsilon$ (i)-entier, resp. entier inverse, resp.  $\varepsilon$ (i)-entier inverse).

On désigne la sous-catégorie pleine de  $D_c^b(X; \overline{Q_1})$  formée des objets entiers (resp.  $\varepsilon$ -entiers, resp. entiers inverses, resp.  $\varepsilon$ -entiers inverses) par

$$D_c^b(X; \overline{Q_1})_{\text{ent}} \text{ (resp. } D_c^b(X; \overline{Q_1})_{\varepsilon\text{-ent}}, \text{ resp. } D_c^b(X; \overline{Q_1})_{\text{ent}^{-1}}, \text{ resp. } D_c^b(X; \overline{Q_1})_{\varepsilon\text{-ent}^{-1}}).$$

Lorsque  $\varepsilon$  est constant,  $D_{\mathbb{C}}^b(\mathbb{X}; \overline{\mathbb{Q}}_1)_{\varepsilon\text{-ent}}$  et  $D_{\mathbb{C}}^b(\mathbb{X}; \overline{\mathbb{Q}}_1)_{\varepsilon\text{-ent}^{-1}}$  sont des sous-catégories triangulées. On abrège parfois  $D_{\mathbb{C}}^b(\mathbb{X}; \overline{\mathbb{Q}}_1)$  en  $D_{\mathbb{C}}^b(\mathbb{X})$ .

On note  $\mathbb{I}$  la fonction d'inclusion de  $\mathbb{Z}$  dans  $\mathbb{Q}$ .

**2.3.** Soient  $r, r_1, r_2 \in \mathbb{Q}$ .

Pour  $F \in \text{Mod}_{\mathbb{C}}(\mathbb{X}; \overline{\mathbb{Q}}_1)_{r_1\text{-ent}}$ ,  $G \in \text{Mod}_{\mathbb{C}}(\mathbb{X}; \overline{\mathbb{Q}}_1)_{r_2\text{-ent}}$ , on a

$$F \otimes G \in \text{Mod}_{\mathbb{C}}(\mathbb{X}; \overline{\mathbb{Q}}_1)_{(r_1+r_2)\text{-ent}} :$$

Pour  $K \in D_{\mathbb{C}}^b(\mathbb{X}; \overline{\mathbb{Q}}_1)_{(r_1+r_1)\text{-ent}}$ ,  $L \in D_{\mathbb{C}}^b(\mathbb{X}; \overline{\mathbb{Q}}_1)_{(r_1+r_2)\text{-ent}}$ , on a

$$K \otimes L \in D_{\mathbb{C}}^b(\mathbb{X}; \overline{\mathbb{Q}}_1)_{(r_1+r_1+r_2)\text{-ent}} :$$

De même pour « entier inverse ».

Pour  $F \in \text{Mod}_{\mathbb{C}}(\mathbb{X}; \overline{\mathbb{Q}}_1)_{r_1\text{-ent}^{-1}}$  lisse,  $G \in \text{Mod}_{\mathbb{C}}(\mathbb{X}; \overline{\mathbb{Q}}_1)_{r_2\text{-ent}}$ , on a

$$\text{Hom}(F; G) \in \text{Mod}_{\mathbb{C}}(\mathbb{X}; \overline{\mathbb{Q}}_1)_{(r_2-r_1)\text{-ent}} :$$

Pour  $F \in \text{Mod}_{\mathbb{C}}(\mathbb{X}; \overline{\mathbb{Q}}_1)_{r_1\text{-ent}}$  lisse,  $G \in \text{Mod}_{\mathbb{C}}(\mathbb{X}; \overline{\mathbb{Q}}_1)_{r_2\text{-ent}^{-1}}$ , on a

$$\text{Hom}(F; G) \in \text{Mod}_{\mathbb{C}}(\mathbb{X}; \overline{\mathbb{Q}}_1)_{(r_2-r_1)\text{-ent}^{-1}} :$$

Soit  $f : X \rightarrow Y$  un morphisme de schémas de type fini sur  $\eta$ . Alors  $f$  préserve les complexes  $\varepsilon$ -entiers (resp.  $\varepsilon$ -entiers inverses).

**Théorème 2.4.** Soient  $f : X \rightarrow Y$  un morphisme séparé de schémas de type fini sur  $\eta$ ,  $F$  un  $\overline{\mathbb{Q}}_1$ -faisceau entier (resp. entier inverse) sur  $X$ . Alors pour tout point fermé  $y$  de  $Y$ ,  $(Rf_!F)_y$  est entier et  $(\mathbb{I}-d_x)$ -entier (resp.  $\mathbb{I}$ -entier inverse et  $n$ -entier inverse), où  $n = \dim(f^{-1}(y))$ . En particulier,  $Rf_!$  induit

$$(2.4.1) \quad D_{\mathbb{C}}^b(\mathbb{X})_{\text{ent}} \rightarrow D_{\mathbb{C}}^b(\mathbb{Y})_{\text{ent}} ;$$

$$(2.4.2) \quad D_{\mathbb{C}}^b(\mathbb{X})_{\mathbb{I}\text{-ent}} \rightarrow D_{\mathbb{C}}^b(\mathbb{Y})_{(\mathbb{I}-d_x)\text{-ent}} ;$$

$$(2.4.3) \quad D_{\mathbb{C}}^b(\mathbb{X})_{\mathbb{I}\text{-ent}^{-1}} \rightarrow D_{\mathbb{C}}^b(\mathbb{Y})_{\mathbb{I}\text{-ent}^{-1}} ;$$

$$(2.4.4) \quad D_{\mathbb{C}}^b(\mathbb{X})_{\text{ent}^{-1}} \rightarrow D_{\mathbb{C}}^b(\mathbb{Y})_{d_x\text{-ent}^{-1}} ;$$

où  $d_x = \max_{y \in Y} \dim f^{-1}(y)$  est la dimension relative.

Le cas « entier » ((2.4.1) et (2.4.2)) de 2.4 est un théorème de Deligne-Esnault [DE06, 0.2].

**Théorème 2.5.** Soient  $f : X \rightarrow Y$  un morphisme séparé de schémas de type fini sur  $\eta$ ,  $d_x = \dim X$ . Alors  $Rf_!$  induit

$$(2.5.1) \quad D_{\mathbb{C}}^b(\mathbb{X})_{\text{ent}} \rightarrow D_{\mathbb{C}}^b(\mathbb{Y})_{\text{ent}} ;$$

$$(2.5.2) \quad D_{\mathbb{C}}^b(\mathbb{X})_{\mathbb{I}\text{-ent}} \rightarrow D_{\mathbb{C}}^b(\mathbb{Y})_{(\mathbb{I}-d_x)\text{-ent}} ;$$

$$(2.5.3) \quad D_{\mathbb{C}}^b(\mathbb{X})_{\mathbb{I}\text{-ent}^{-1}} \rightarrow D_{\mathbb{C}}^b(\mathbb{Y})_{\mathbb{I}\text{-ent}^{-1}} ;$$

$$(2.5.4) \quad D_{\mathbb{C}}^b(\mathbb{X})_{\text{ent}^{-1}} \rightarrow D_{\mathbb{C}}^b(\mathbb{Y})_{d_x\text{-ent}^{-1}} ;$$

Sans hypothèse de séparation de  $f$ , (2.5.1), (2.5.3) et (2.5.4) sont encore vrais.

L'hypothèse de séparation est également superflue pour (2.5.2). On peut l'éliminer ou bien en étudiant la  $\mathfrak{c}$ -divisibilité en dehors d'un sous-schéma de dimension fixée, ou bien en utilisant une théorie de  $Rf_!$  sans hypothèse de séparation (voir 6.5).

**Théorème 2.6.** Soient  $f : X \rightarrow Y$  un morphisme séparé de schémas de type fini sur  $\eta$ ,  $d_Y = \dim Y$ ,  $d_X = \max_{y \in Y} \dim f^{-1}(y)$ . Alors  $Rf^!$  induit

$$(2.6.1) \quad D_c^b(Y)_{\text{ent}} \rightarrow D_c^b(X)_{d_X\text{-ent}};$$

$$(2.6.2) \quad D_c^b(Y)_{I\text{-ent}} \rightarrow D_c^b(X)_{(I, d_Y)\text{-ent}};$$

$$(2.6.3) \quad D_c^b(Y)_{I\text{-ent}^1} \rightarrow D_c^b(X)_{(I, d_X)\text{-ent}^1};$$

$$(2.6.4) \quad D_c^b(Y)_{\text{ent}^1} \rightarrow D_c^b(X)_{d_Y\text{-ent}^1};$$

Soient  $X$  un schéma de type fini sur  $\eta$ ,  $a_X : X \rightarrow \eta$ . Rappelons que  $Ra_X^! \overline{\mathbb{Q}}_1$  est globalement défini (pas de problème dans le cas séparé, dans le cas général par [BBD82, 3.2.4]). On pose  $D_X = R\text{Hom}(\cdot; Ra_X^! \overline{\mathbb{Q}}_1)$ .

**Théorème 2.7.** Soient  $X$  un schéma de type fini sur  $\eta$ ,  $d_X = \dim X$ . Alors  $D_X$  induit

$$(2.7.1) \quad D_c^b(X)_{\text{ent}^1} \rightarrow D_c^b(X)_{d_X\text{-ent}};$$

$$(2.7.2) \quad D_c^b(X)_{I\text{-ent}^1} \rightarrow D_c^b(X)_{I\text{-ent}};$$

$$(2.7.3) \quad D_c^b(X)_{I\text{-ent}} \rightarrow D_c^b(X)_{(I, d_X)\text{-ent}^1};$$

$$(2.7.4) \quad D_c^b(X)_{\text{ent}} \rightarrow D_c^b(X)_{\text{ent}^1};$$

De plus, pour  $K \in \text{Mod}_c(X; \overline{\mathbb{Q}}_1)_{\text{ent}^1}$ ,  $H^a(DK)$  est  $(a+1)$ -entier,  $d_X - a - 1$ .

**Théorème 2.8.** Soient  $X$  un schéma de type fini sur  $\eta$ ,  $d_X = \dim X$ . Alors  $R\text{Hom}_X(\cdot; \cdot)$  induit

$$(2.8.1) \quad D_c^b(X)_{\text{ent}^1} \rightarrow D_c^b(X)_{\text{ent}} \rightarrow D_c^b(X)_{\text{ent}};$$

$$(2.8.2) \quad D_c^b(X)_{I\text{-ent}^1} \rightarrow D_c^b(X)_{I\text{-ent}} \rightarrow D_c^b(X)_{(I, d_X)\text{-ent}};$$

$$(2.8.3) \quad D_c^b(X)_{I\text{-ent}} \rightarrow D_c^b(X)_{I\text{-ent}^1} \rightarrow D_c^b(X)_{I\text{-ent}^1};$$

$$(2.8.4) \quad D_c^b(X)_{\text{ent}^1} \rightarrow D_c^b(X)_{\text{ent}^1} \rightarrow D_c^b(X)_{d_X\text{-ent}^1};$$

### 3 Diviseurs à croisements normaux

**Proposition 3.1.** Soient  $\sigma : X \rightarrow Y$  un morphisme fini de schémas de type fini sur  $\eta$ ,  $L \in D_c^b(X; \overline{\mathbb{Q}}_1)$ . Alors  $\sigma^* L$  est  $\varepsilon$ -entier (resp.  $\varepsilon$ -entier inverse) si et seulement si  $L$  l'est.

*Démonstration.* On peut supposer que  $Y$  est réduit à un seul point  $y$ ,  $X$  est réduit à un seul point  $x$  et  $L = F \in \text{Mod}_c(X; \overline{\mathbb{Q}}_1)$ . Soient  $G_y = \text{Gal}(\kappa(y) = \kappa(y))$ ,  $G_x = \text{Gal}(\kappa(x) = \kappa(x))$ . Le faisceau  $F$  correspond à une représentation  $\rho : G_x \rightarrow \text{GL}_{\overline{\mathbb{Q}}_1}(F_x)$ . Soient  $K^0$  une extension finie quasi-galoisienne (i. e., normale) de  $\kappa(y)$  contenant  $\kappa(x)$ ,  $x^0 = \text{Spec} K^0$ . Pour  $s \in G_y$ , soit  $F_s$  le faisceau sur  $x^0$  correspondant à la représentation

$$\text{Gal}(\kappa(\overline{x^0}) = K^0) \rightarrow \text{GL}_{\overline{\mathbb{Q}}_1}(F_x) \\ h \mapsto \rho(s^{-1}hs).$$

Ce faisceau ne dépend, à isomorphisme près, que de l'image de  $s$  dans  $G_y = G_x$ . D'après la formule de Mackey ([Ser98, 7.3]), on a  $(\sigma^* F)_{x^0} = \bigoplus_s F_s$ , où  $s$  parcourt un système de représentants de  $G_y = G_x$ . Donc

$$\sigma^* F \text{ est } \varepsilon(0)\text{-entier}, \quad (\sigma^* F)_{x^0} \text{ est } \varepsilon(0)\text{-entier} \\ \text{, les } F_s \text{ sont } \varepsilon(0)\text{-entiers}, \quad F \text{ est } \varepsilon(0)\text{-entier.}$$

De même pour le cas entier inverse. □

Soient, en 3.2 et 3.3,  $K$  un corps quelconque,  $\eta = \text{Spec}K$ .

On va utiliser le cas spécial suivant du théorème de pureté de Gabber [Fuj02].

**Proposition 3.2.** *Soient  $n$  un entier inversible sur  $\eta$ ,  $\mathbb{Z} = n\mathbb{Z}$ . Soit  $i : Y \rightarrow X$  une immersion fermée de schémas réguliers de type fini sur  $\eta$  purement de codimension  $c$ . Alors  $Ri_! = 0$  en degré  $< -2c$ .*

Gabber a remarqué que ce résultat découle facilement du théorème de pureté relative [SGA4, XVI 3.7]. En effet,  $i$  provient par changement de base d'une immersion fermée  $i_1 : X_1 \rightarrow Y_1$  de schémas de type fini sur  $K_1$ , où  $K_1$  est un sous-corps de  $K$ , extension de type fini d'un corps premier  $K_0$ . Alors  $\text{Spec}K_1$  est le point générique d'un schéma  $S_1$  intègre de type fini sur  $K_0$ . Quitte à remplacer  $S_1$  par un ouvert, on peut supposer que  $i_1$  soit la fibre générique d'une immersion fermée  $i_2 : Y_2 \rightarrow X_2$  de schémas de type fini sur  $S_1$ . Comme  $X_1$  (resp.  $Y_1$ ) est un schéma régulier ([EGAIV, 6.5.2 (i)]) et que  $X_2$  (resp.  $Y_2$ ) est de type fini sur  $K_0$ , donc en particulier, excellent, quitte à remplacer  $X_2$  et  $Y_2$  par des voisinages ouverts de leurs fibres génériques, on peut supposer que  $X_2$  et  $Y_2$  soient réguliers (donc lisse sur  $K_0$ ) et  $i_2$  soit purement de codimension  $c$ . D'après le théorème de pureté relative,  $Ri_2^! = 0$  en degré  $< -2c$ . On conclut par passage à la limite.  $\square$

Le lemme suivant est décalqué de [SGA7, XXI 5.2.1].

**Lemme 3.3.** *Soient  $X$  un schéma de type fini sur  $\eta$ ,  $a_X : X \rightarrow \eta$ ,  $l$  un nombre premier inversible sur  $\eta$ ,  $G \in \text{Mod}_c(\mathcal{O}_X; \overline{\mathbb{Q}}_1)$ .*

(i) *Il existe une partie fermée  $Y$  de dimension 0 de  $X$  telle que  $a_X \circ G \rightarrow a_Y \circ (G|_Y)$  soit injectif, où  $a_Y : Y \rightarrow \eta$ .*

(ii) *Si  $X$  est séparé de dimension  $n$ , et si  $U$  est un ouvert de  $X$  dont le complémentaire  $Z$  est de dimension  $< n$ , alors il existe une partie fermée  $Y$  de  $U$  de dimension 0 et une flèche surjective  $a_Y \circ (G|_Y) \rightarrow (a_X \circ G)|_Y$ , où  $a_Y : Y \rightarrow \eta$ .*

*Démonstration.* (i) est évident.

(ii) Quitte à remplacer  $X$  par  $X_{\text{red}}$  et à rétrécir  $U$ , on peut supposer  $U$  régulier équidimensionnel et  $G|_U$  lisse. Puisque  $\dim Z < n$ , on a

$$0 = R^{2n-1}a_{Z!}(G|_Z) \rightarrow R^{2n}a_{U!}(G|_U) \rightarrow R^{2n}a_{X!}G \rightarrow R^{2n}a_{Z!}(G|_Z) = 0;$$

où  $a_Z : Z \rightarrow \eta$ . Donc on peut supposer  $U = X$ . Appliquant (i) à  $G = \text{Hom}(G; \overline{\mathbb{Q}}_1)$ , on trouve une partie fermée  $Y$  de  $U$  de dimension 0 telle que  $a_U \circ G \rightarrow a_Y \circ (G|_Y)$  soit injectif, donc  $D_\eta(a_Y \circ (G|_Y)) \rightarrow D_\eta(a_U \circ G)$  surjectif. Par le théorème de pureté 3.2, on a

$$D_\eta(a_Y \circ (G|_Y)) \rightarrow a_Y \circ (D_X G)|_Y \rightarrow a_Y \circ (G|_Y);$$

Par ailleurs, on a

$$D_\eta(a_U \circ G) = H^0(D_\eta R a_U \circ G) \rightarrow H^0(R a_U \circ D_X G) \rightarrow H^0(R a_U \circ G[n-2n]) = R^{2n}a_U \circ G[n]:$$

D'où le résultat.  $\square$

On reprend les notations du § 1.

**Corollaire 3.4.** *Soient  $X$  un schéma de type fini sur  $\eta$ ,  $a_X : X \rightarrow \eta$ ,  $G \in \text{Mod}_c(\mathcal{O}_X; \overline{\mathbb{Q}}_1)$  entier (resp. entier inverse).*

(i)  *$a_X \circ G$  est entier (resp. entier inverse).*

(ii) *Si  $X$  est séparé de dimension  $n$ , alors  $a_X \circ G$  est entier (resp. entier inverse),  $R^{2n}a_X \circ G$  est  $n$ -entier (resp.  $n$ -entier inverse).*

La proposition suivante est décalqué de [SGA7, XXI 5.3 (a)].

**Proposition 3.5.** *Soient  $j : X \rightarrow Y$  une immersion ouverte de schémas de type fini sur  $\eta$  de dimension 1,  $G \in \text{Mod}_c(\mathcal{O}_X; \overline{\mathbb{Q}}_1)$  entier. Alors  $j \circ G$  est entier.*

*Démonstration.* On se ramène au cas  $Y$  affine, puis  $Y$  projectif.

Définissons  $H$  par la suite exacte courte

$$0 \rightarrow j_!G \rightarrow j_*G \rightarrow H \rightarrow 0;$$

d'où la suite exacte

$$a_X^*G \rightarrow a_Y^*H \rightarrow R^1a_X^*G;$$

où  $a_X^*G \rightarrow a_Y^*H$  est entier. D'après 3.4 (i),  $a_X^*G$  est entier. D'après le théorème de Deligne-Esnault (2.4.1),  $R^1a_X^*G$  est entier. Donc  $a_Y^*H$  l'est aussi. Mais  $H$  est à supports dans une partie fermée de dimension 0 de  $Y$ , donc  $H$  est entier.  $\square$

**Proposition 3.6.** *Soient  $X$  un schéma régulier de type fini sur  $\eta$  de dimension 1,  $D$  un diviseur positif régulier. Posons  $U = X \setminus D$ ,  $j : U \hookrightarrow X$ . Soit  $G$  un  $\overline{\mathbb{Q}}_1$ -faisceau lisse sur  $U$ , entier, modérément ramifié sur  $X$ . Alors  $Rj_*G$  est  $\mathbb{F}$ -entier.*

*Démonstration.* La question est locale sur  $X$ . Soit  $x \in U$ . Montrons que  $(Rj_*G)_x$  est  $\mathbb{F}$ -entier.

On a  $G \in (G_{\mathbb{O}} \otimes_{\mathbb{O}} E) \in \overline{\mathbb{Q}}_1$ , où  $E$  est un corps extension finie de  $\mathbb{Q}_1$ ,  $\mathbb{O}$  son anneau des entiers,  $G_{\mathbb{O}}$  un  $\mathbb{O}$ -faisceau lisse (constructible) sur  $U$ . En vertu du lemme d'Abhyankar [SGA1, XIII 5.2], il existe, au voisinage de  $x$ , un revêtement fini  $g : \mathfrak{X} \rightarrow X$  de la forme  $\mathfrak{X} = X \setminus \{t\}$  où  $t$  est une équation locale de  $x$ ,  $n$  est un entier premier à l'exposant caractéristique de  $K$ , tel que  $(g_*\mathcal{J}) \in (G_{\mathbb{O}} \otimes_{\mathbb{O}} (\mathbb{O} = t^n \mathbb{O}))$  se prolonge en un faisceau localement constant sur  $\mathfrak{X}$ . Comme  $G$  est facteur direct de  $(g_*\mathcal{J}) \otimes_{\mathbb{O}} G$ , on est ramené à montrer le lemme pour le faisceau  $(g_*\mathcal{J}) \otimes_{\mathbb{O}} G$ . Comme  $g^{-1}(D)_{\text{red}}$  est un diviseur régulier, on peut alors se ramener à montrer le lemme pour un faisceau  $G$  tel que  $G \in (G_{\mathbb{O}} \otimes_{\mathbb{O}} (\mathbb{O} = t^n \mathbb{O}))$  se prolonge en un faisceau localement constant sur  $X$ , puis au cas  $G_{\mathbb{O}} \otimes_{\mathbb{O}} (\mathbb{O} = t^n \mathbb{O})$  constant par la formule de projection.

Soient  $X_{(x)}$  le hensélisé de  $X$  en  $x$ ,  $U_{(x)} = X_{(x)} \setminus x$ ,  $j_{(x)} : U_{(x)} \hookrightarrow X_{(x)}$ ,  $H = G_{\mathcal{J}_{(x)}}$ . Alors  $H \in (H_{\mathbb{O}} \otimes_{\mathbb{O}} E) \in \overline{\mathbb{Q}}_1$ , avec  $H_{\mathbb{O}} \otimes_{\mathbb{O}} (\mathbb{O} = t^n \mathbb{O})$  constant. On a  $(Rj_{(x)}H)_x = (Rj_*G)_x \otimes_{\mathbb{O}} D_{\mathbb{O}}^b(x; \overline{\mathbb{Q}}_1)$ . D'après 3.5,  $(j_{(x)}H)_x = (j_*G)_x$  est entier. Il reste à montrer que  $(R^1j_{(x)}H)_x$  est 1-entier.

On a une suite exacte de groupes

$$1 \rightarrow \hat{Z}^0(1) \rightarrow G \rightarrow \text{Gal}(K(x) = \overline{K}(x)) \rightarrow 1;$$

où  $\hat{Z}^0(1) = \prod_{p \notin \text{car}(K)} \mathbb{Z}_p(1)$ ,  $G = \pi_1^{\text{m,od}}(U_{(x)})$ . Le faisceau  $H$  correspond à une représentation  $\mathbb{F}$ -adique de  $G$ . D'après le théorème de monodromie locale, la restriction de cette représentation à  $\hat{Z}^0(1)$  est quasi-unipotente, donc unipotente. On obtient une filtration  $M$  finie, croissante de  $H$ , telle que chaque  $\text{gr}_a^M H$  se prolonge en un  $\overline{\mathbb{Q}}_1$ -faisceau lisse  $G_a$  sur  $X_{(x)}$ .

Montrons que  $(R^1j_{(x)}M_a)_x$  est 1-entier par récurrence sur  $a$ , ce qui achèvera la démonstration de la proposition. L'assertion est claire pour  $a = 0$ . Supposons l'assertion établie pour  $a - 1$ . La suite exacte courte

$$0 \rightarrow M_{a-1} \rightarrow M_a \rightarrow G_a \mathcal{J}_{(x)} \rightarrow 0$$

donne le triangle distingué

$$Rj_{(x)}M_{a-1} \rightarrow Rj_{(x)}M_a \rightarrow Rj_{(x)}(G_a \mathcal{J}_{(x)}) \rightarrow \dots$$

D'après une formule de projection,  $Rj_{(x)}(G_a \mathcal{J}_{(x)}) \in Rj_{(x)}\overline{\mathbb{Q}}_1 \otimes_{\mathbb{O}} G_a$ . On a

$$(R^q j_{(x)}\overline{\mathbb{Q}}_1)_x = \begin{cases} \overline{\mathbb{Q}}_1(-q) & \text{si } q = 0; 1, \\ 0 & \text{sinon.} \end{cases}$$

Donc on a la suite exacte

$$(j_{(x)} M_a)_x \rightarrow (G_a)_x \rightarrow (R^1 j_{(x)} M_{a-1})_x \rightarrow (R^1 j_{(x)} M_a)_x \rightarrow (G_a)_x(-1)$$

Ici  $(j_{(x)} M_a)_x$  est un sous-faisceau de  $(j_{(x)} H)_x$ , donc entier. Par hypothèse de récurrence,  $(R^1 j_{(x)} M_{a-1})_x$  est 1-entier. Donc  $(G_a)_x$  est entier,  $(G_a)_x(-1)$  est 1-entier. On en déduit que  $(R^1 j_{(x)} M_a)_x$  est 1-entier.  $\square$

Le lemme suivant est une variante de [SGA7, XXI 5.6.2].

**Lemme 3.7.** Soient  $X$  un schéma noethérien régulier,  $D = \sum_{i \in I} D_i$  un diviseur strictement à croisements normaux de  $X$  avec  $(D_i)_{i \in I}$  une famille finie de diviseurs réguliers,  $U = X \setminus D$ ,  $n$  un entier inversible sur  $X$ ,  $\mathcal{G} = \mathcal{Z} = n\mathcal{Z}$ ,  $\mathcal{G} \in \text{Mod}_c(U; \mathbb{Z})$  localement constant, modérément ramifié sur  $X$ .

(i) Soient  $i \in I$ ,  $U_{(i)} = X \setminus \sum_{h \neq i} D_h$ ,  $D_{i \setminus U_{(i)}} = D_i \times U_{(i)}$ , d'où un diagramme à carré cartésien

$$\begin{array}{ccc} D_{i \setminus U_{(i)}} & \xrightarrow{j_{(i)}^0} & D_i \\ \downarrow \iota_i^0 & & \downarrow \iota_i \\ U & \xrightarrow{j_{(i)}} & X \end{array}$$

Alors le morphisme de changement de base

$$(3.7.1) \quad \iota_i^0 R^q j_{(i)}(R^j(i)G) \rightarrow R^q j_{(i)}^0 \iota_i^0(R^j(i)G)$$

est un isomorphisme et les faisceaux

$$\iota_i^0 R^q j_{(i)}(R^j(i)G); \quad q \geq 0$$

sont localement constants, modérément ramifiés sur  $D_i$ .

(ii) Soit  $f : Y \rightarrow X$  un morphisme de schémas réguliers noethériens. Supposons que  $f^{-1}(D)$  soit un diviseur à croisements normaux et que  $(f^{-1}(D_i))_{i \in I}$  soit une famille de diviseurs réguliers. Considérons le carré cartésien :

$$\begin{array}{ccc} Y_U & \xrightarrow{j_Y} & Y \\ \downarrow f_U & & \downarrow f \\ U & \xrightarrow{j} & X \end{array}$$

Alors le morphisme de changement de base  $f^* R^j G \rightarrow R^j_Y f_* G$  est un isomorphisme.

*Démonstration.* La question est locale sur  $X$ . Soit  $x$  un point de  $X$ . En vertu du lemme d'Abhyankar, il existe, au voisinage de  $x$ , un revêtement fini  $\mathcal{G} : \mathcal{X} \rightarrow X$  de la forme  $\mathcal{X} = X[T_1; \dots; T_r] = (T_1^{n_1} - t_1; \dots; T_r^{n_r} - t_r)$  où les  $t_i$  sont des équations locales des composantes de  $D$  passant par  $x$ , et  $n_i$  des entiers premiers à l'exposant caractéristique de  $\kappa(x)$ , tel que  $(\mathcal{G})^* G$  se prolonge en un faisceau localement constant sur  $\mathcal{X}$ . Comme  $G$  s'injecte dans  $(\mathcal{G})^* (\mathcal{G})^* G$  et le quotient  $G_1$  est modérément ramifié sur  $X$ , on peut itérer cette construction. Pour tout  $N \geq 1$ , on obtient, quitte à rétrécir  $X$ , une résolution

$$G \rightarrow (\mathcal{G})^* (\mathcal{G})^* G \rightarrow (\mathcal{G}_1)^* (\mathcal{G}_1)^* G_1 \rightarrow \dots \rightarrow (\mathcal{G}_N)^* (\mathcal{G}_N)^* G_N$$

Donc on est ramené à montrer le lemme pour le faisceau  $(\mathcal{G})^* (\mathcal{G})^* G$ . Comme  $\mathcal{G}^{-1}(D)_{\text{red}} = \sum_{i \in I} \mathcal{G}^{-1}(D_i)_{\text{red}}$  est un diviseur à croisements normaux avec  $(\mathcal{G}^{-1}(D_i)_{\text{red}})_{i \in I}$  une famille de diviseurs réguliers, on peut alors se ramener à montrer le lemme pour un faisceau  $G$  qui



*Démonstration.* (i) Au cas où  $X$  est intègre et  $U \notin \mathcal{I}$ , il existe un morphisme  $r_0 : X_0^0 \rightarrow X$  propre surjectif avec  $X_0^0$  intègre et régulier tel que  $r_0^{-1}(U)$  soit le complémentaire d'un diviseur strictement à croisements normaux, en vertu de [dJ96, 4.1]. On prend  $W_0 = X_0^0$ .

Le cas où  $X$  est intègre et  $U \in \mathcal{I}$  en résulte : appliquer le cas précédent à  $X$  et la partie ouverte  $X$  pour obtenir  $r_0$ , et puis prendre  $W_0 = \mathcal{I}$ .

Dans le cas général, soient  $X_\alpha$  les schémas réduits associés aux composantes irréductibles de  $X$ ,  $a : X_\alpha \rightarrow X$  le morphisme canonique. Alors  $a$  est fini et surjectif. Pour chaque  $\alpha$ , appliquons (i) à  $X_\alpha$  et  $U \cap X_\alpha$ , on obtient  $\phi_\alpha : (X_\alpha)_0^0 \rightarrow X_\alpha$  propre surjectif avec  $(X_\alpha)_0^0$  régulier et un sous-schéma ouvert fermé  $W_\alpha$  de  $(X_\alpha)_0^0$  contenant l'image inverse  $U_\alpha$  de  $U$  tels que  $U_\alpha$  soit le complémentaire dans  $W_\alpha$  d'un diviseur strictement à croisements normaux. Posons  $X_0^0 = \coprod (X_\alpha)_0^0$ ,  $r_0 = a \circ \phi_\alpha$ ,  $W_0 = \coprod W_\alpha$ . Alors  $r_0$  et  $W_0$  satisfont aux conditions de (i).

(ii) Cas  $F$  parfait. On fait une récurrence sur  $n$ . Lorsque  $n = 0$ , (ii) dégénère en (i). Supposons donné un hyperrecouvrement  $n$ -tronqué  $r : X^0 \rightarrow X$  vérifiant les conditions de (ii). On applique (i) au  $X$ -schéma  $(\text{cosq}_n X^0)_{n+1}$  et l'image inverse de  $U$ . On obtient  $\beta : N \rightarrow (\text{cosq}_n X^0)_{n+1}$  propre surjectif avec  $N$  lisse sur  $\text{Spec} F$  et un sous-schéma ouvert fermé  $W$  de  $N$  tels que l'image inverse de  $U$  dans  $N$  soit le complémentaire d'un diviseur strictement à croisements normaux relativement à  $\text{Spec} F$  dans  $W$ . L'hyperrecouvrement propre  $(n+1)$ -tronqué  $s$ -scindé associé au triplet  $(X^0; N; \beta)$  [SGA4, V<sup>bis</sup> 5.1.3] vérifie les conditions de (ii) pour  $n+1$ .

Cas général. On prend une clôture parfaite  $\overline{F}$  de  $F$  et applique (ii) à  $\overline{F}$ ,  $X_{\overline{F}}$  et  $U_{\overline{F}}$ . L'hyperrecouvrement tronqué et les diviseurs strictement à croisements normaux obtenus se descendent à une sous-extension finie  $F^0$  de  $F$ .  $\square$

**4.2. Démonstration de (2.5.1).** Il faut montrer que pour un  $\overline{Q}_1$ -faisceau constructible  $G$  sur  $X$ , entier,  $Rf^* G$  est entier.

On fait une récurrence sur  $d = \dim X$ . Le cas  $d = 0$  est trivial.

Soit  $d \geq 1$ . Choisissons un ouvert affine  $U \xrightarrow{j} X$  tel que  $G|_U$  soit lisse et que son complémentaire  $Z \xrightarrow{i} X$  soit de dimension  $< d$ . Le triangle distingué

$$i^! G \rightarrow G \rightarrow Rj_* G$$

induit le triangle distingué

$$R(f_! i^! G) \rightarrow Rf^* G \rightarrow R(f_! j_* G) :$$

Compte tenu de l'hypothèse de récurrence, il suffit de voir que  $Rj_* G$  et  $R(f_! j_* G)$  sont entiers. Il suffit donc de vérifier le théorème sous l'hypothèse additionnelle que  $X$  est séparé et  $G$  lisse.

On a  $G \simeq (G_0 \otimes_{\mathcal{O}_E} \overline{Q}_1)$  avec  $G_0$  lisse. Soit  $p : X^0 \rightarrow X$  un revêtement étale surjectif qui trivialise  $G_0 \otimes_{\mathcal{O}_E} (\mathcal{O} = \mathfrak{m})$ , où  $\mathfrak{m}$  est l'idéal maximal de  $\mathcal{O}$ . Le faisceau  $G$  est facteur direct de  $p^* p_* G$ , de sorte qu'il suffit de voir l'intégralité de  $R(f_! p^* p_* G)$ . Donc il suffit de vérifier le théorème sous l'hypothèse additionnelle que  $X$  est séparé et

**4.2.1**  $G \simeq (G_0 \otimes_{\mathcal{O}_E} \overline{Q}_1)$  avec  $G_0 \otimes_{\mathcal{O}_E} (\mathcal{O} = \mathfrak{m})$  constant.

On factorise  $f$  en  $X \xrightarrow{j} Z \xrightarrow{g} Y$ , où  $j$  est une immersion ouverte,  $g$  est un morphisme propre. Comme  $Rg^*$  préserve l'intégralité en vertu du théorème de Deligne-Esnault (2.4.1), il suffit de prouver l'intégralité de  $Rj_* G$ . On est donc ramené à démontrer (2.5.1) pour  $j$  et  $F$ . Pour cela, on peut supposer  $Z$  affine, donc séparé.

Soit  $i \geq 0$ . On applique 4.1 (ii) à  $j$  et  $n = i+1$ . Quitte à changer les notations, on peut supposer que l'extension radicielle de *loc. cit.* est triviale. On obtient un carré cartésien

(de schémas simpliciaux  $(i+1)$ -tronqués)

$$\begin{array}{ccc} X^0 & \xrightarrow{j^0} & Z^0 \\ \downarrow s & & \downarrow r \\ X & \xrightarrow{j} & Z \end{array}$$

où  $r$  est un hyperrecouvrement propre  $(i+1)$ -tronqué  $s$ -scindé,  $Z_m^0$  lisse sur  $\eta$ ,  $j_m^0$  une immersion ouverte faisant de  $X_m^0$  le complémentaire d'un diviseur à croisements normaux relativement à  $\eta$  dans une partie ouverte fermée de  $Z_m^0$ ,  $0 \leq m \leq i+1$ . D'après la descente cohomologique,

$$\tau_{iR} j^* G' = \tau_{iR} j^* R s_* s^* G = \tau_{iR} r^* R j^0_* s^* G:$$

Comme  $R r^*$  préserve l'intégralité (2.4.1), il suffit de voir l'intégralité des  $R j_m^0_* s_m^* G$ ,  $0 \leq m \leq i$ . Or  $s_m^* G$  satisfait encore à 4.2.1, donc est modérément ramifié sur  $Z_m^0$ . Il suffit alors d'appliquer 3.8.  $\square$

**Proposition 4.3.** *Soient  $X$  un schéma régulier séparé de type fini sur  $\eta$ , purement de dimension 1,  $a_X : X \rightarrow \eta$ ,  $G$  un  $\overline{\mathbb{Q}}_1$ -faisceau lisse sur  $X$ , entier inverse. Alors  $R^1 a_{X!} G$  est 1-entier inverse.*

*Démonstration.* On peut supposer que  $G' = (G_R \otimes_{R \otimes E} \overline{\mathbb{Q}}_1)$ , avec  $G_R$  lisse. Pour  $p : X^0 \rightarrow X$  un revêtement étale surjectif qui trivialise  $G_R \otimes_{R \otimes E} \overline{\mathbb{Q}}_1$ ,  $G$  est un facteur direct de  $p_* p^* G$ . Ceci permet de supposer  $G_R \otimes_{R \otimes E} \overline{\mathbb{Q}}_1$  constant. On a

$$D_\eta(R^1 a_{X!} G) = H^{-1}(D_\eta R a_{X!} G) = H^{-1}(R a_X(G(1)[2])) = R^1 a_X(G(1)):$$

Soit  $j : X \rightarrow P$  une compactification régulière de  $X$ . De  $a_X = a_P \circ j$  on déduit une suite spectrale

$$E_2^{p,q} = R^p a_P(R^q j_* G) \rightarrow R^{p+q} a_X(G):$$

D'après 3.8 et 3.4,  $R^0 a_P R^1 j_* G$  est entier. D'autre part,  $R^1 a_P R^0 j_* G$  est un quotient de  $R^1 a_P j_* G$ , donc entier en vertu de 2.4. Donc  $R^1 a_X(G)$  est entier,  $R^1 a_{X!} G$  est 1-entier inverse.  $\square$

*Démonstration de 2.4.* Comme on a déjà remarqué, le cas « entier » ((2.4.1) et (2.4.2)) de 2.4 est démontré dans [DE06, 0.2]. Supposons maintenant  $F$  entier inverse. On peut supposer  $Y = \eta$ ,  $f = a_X$ .

Traitons d'abord le cas  $X = \mathbb{A}_\eta^1$ . Soient  $j : U \rightarrow X$  un ouvert dense tel que  $F|_U$  soit lisse,  $i : Z \rightarrow X$  le fermé complémentaire. La suite exacte

$$0 \rightarrow j_* j^* F \rightarrow F \rightarrow i_* i^* F \rightarrow 0$$

donne le triangle distingué

$$R a_{U!}(F|_U) \rightarrow R a_{X!} F \rightarrow R a_{Z!}(F|_Z) \rightarrow :$$

D'après 3.4,  $R a_{Z!}(F|_Z)$  est entier inverse,  $R^0 a_{U!}(F|_U)$  est entier inverse,  $R^2 a_{U!}(F|_U)$  est 1-entier inverse. D'après 4.3,  $R^1 a_{U!}(F|_U)$  est 1-entier inverse. Donc  $R a_{X!} F$  est 1-entier inverse et 1-entier inverse.

Pour le cas général, procédons par récurrence sur  $n$ . Le cas  $n = 0$  est trivial. Soit  $n \geq 1$ . D'après le lemme de normalisation, il existe  $j : U \rightarrow X$  un ouvert dense de  $X$  et un morphisme  $f : U \rightarrow Y = \mathbb{A}_\eta^1$  à fibres de dimension  $n-1$ . Soit  $i : Z \rightarrow X$  le complémentaire de  $U$ . Alors  $Z$  est de dimension  $n-1$ . La suite exacte

$$0 \rightarrow j_* j^* F \rightarrow F \rightarrow i_* i^* F \rightarrow 0$$

donne le triangle distingué

$$R a_{U,1}(\mathbb{F} \mathcal{J}) \rightarrow R a_{X,1}(\mathbb{F}) \rightarrow R a_{Z,1}(\mathbb{F} \mathcal{Z}) \rightarrow :$$

Par l'hypothèse de récurrence,  $R a_{Z,1}(\mathbb{F} \mathcal{Z})$  est  $\mathbb{F}$ -entier inverse et  $(n-1)$ -entier inverse. Il suffit donc de vérifier la proposition pour  $\mathbb{F} \mathcal{J}$ . Ceci résulte de la suite spectrale

$$E_2^{pq} = R^p a_{Y,1}(R^q f_*(\mathbb{F} \mathcal{J})) \rightarrow R^{p+q} a_{U,1}(\mathbb{F} \mathcal{J});$$

de l'hypothèse de récurrence appliquée aux fibres de  $f$  et du cas d'une droite affine déjà traité.  $\square$

La proposition suivante est un analogue de 3.6.

**Proposition 4.4.** *Soient  $X$  un schéma régulier de type fini sur  $\eta$  de dimension 1,  $D$  un diviseur positif régulier. Posons  $U = X - D$ ,  $j : U \rightarrow X$ . Soit  $G$  un  $\overline{\mathbb{Q}_1}$ -faisceau lisse sur  $U$ , entier inverse, modérément ramifié sur  $X$ . Alors  $R j_* G$  est  $\mathbb{F}$ -entier inverse.*

*Démonstration.* Comme  $G$  est lisse, modérément ramifié sur  $X$ , entier, donc  $R j_* G$  est  $\mathbb{F}$ -entier en vertu de 3.8. Soit  $i : D \rightarrow X$ . D'après la dualité locale en dimension 1,  $i^* R^1 j_* G' = (i^* j_* G) - (-1)$  est 1-entier inverse,  $i^* j_* G' = (i^* R^1 j_* G) - (-1)$  est entier inverse.  $\square$

La proposition suivante est un analogue de 3.8.

**Proposition 4.5.** *Soient  $X$  un schéma de type fini sur  $\eta$ ,  $D$  un diviseur à croisements normaux. Posons  $U = X - D$ ,  $j : U \rightarrow X$ . Soit  $G$  un  $\overline{\mathbb{Q}_1}$ -faisceau lisse sur  $U$ , entier inverse, modérément ramifié sur  $X$ . Alors  $R j_* G$  est  $\mathbb{F}$ -entier inverse.*

On déduit 4.5 de 4.4 de la même manière qu'on a déduit 3.8 de 3.6.

On déduit (2.5.3) de 4.5 de la même manière qu'on a déduit (2.5.1) de 3.8 en 4.2.

**Remarque 4.6.** L'assertion (2.6.1) (resp. (2.6.3)) pour  $f$  une immersion fermée découle de ce qui précède. En effet, soient  $j : Y \rightarrow X \rightarrow Y'$  l'ouvert complémentaire,  $K \in D_c^2(Y; \overline{\mathbb{Q}_1})$  entier (resp.  $\mathbb{F}$ -entier inverse). On a le triangle distingué

$$R f^* K \rightarrow f^* K \rightarrow f_* R j_* K \rightarrow :$$

En appliquant (2.5.1) (resp. (2.5.3)) à  $j$ , on obtient que  $f_* R j_* K$  est entier (resp.  $\mathbb{F}$ -entier inverse), donc  $f_* R j_* K[-1]$  l'est aussi (resp.  $(\mathbb{F}-1)$ -entier inverse). Or  $f^* K$  est entier (resp.  $\mathbb{F}$ -entier inverse). On en conclut que  $R f^* K$  l'est aussi. Cette démonstration donne un peu plus dans le cas entier inverse : pour  $K \in D_c^2(M \text{ mod }_c(Y; \overline{\mathbb{Q}_1})_{\text{ent}})$ ,  $R^a f^* K$  est  $(a-1)$ -entier inverse,  $a \geq 1$ .

**4.7. Démonstration de 2.7.** On peut supposer  $X$  réduit. On fait une récurrence sur  $d_X$ . Le cas  $d_X = 0$  est trivial. Pour  $d_X \geq 1$ , il suffit de montrer que pour  $K \in D_c^2(X; \overline{\mathbb{Q}_1})$  entier (resp. entier inverse),  $DK$  est entier inverse et  $(\mathbb{F} + d_X)$ -entier inverse (resp.  $\mathbb{F}$ -entier et  $d_X$ -entier et  $H^a(DK)$  est  $(a+1)$ -entier,  $d_X \geq a \geq 1$ ). Prenons un ouvert  $j : U \rightarrow X$  régulier purement de dimension  $d_X$  tel que le complémentaire  $i : V \rightarrow X$  soit de dimension  $< d_X$  et que  $K|_U$  soit lisse. Alors  $D(j_* K) = (j_* K) - (d_X) \in D_c^2(U)$ .

On a le triangle distingué

$$(4.7.1) \quad i^* D(i^* K) \rightarrow DK \rightarrow R j_* D(j_* K) \rightarrow :$$

D'après (2.5.3) (resp. (2.5.1)),  $R j_* D(j_* K)$  est  $(\mathbb{F} + d_X)$ -entier inverse (resp.  $d_X$ -entier). D'après l'hypothèse de récurrence,  $i^* D(i^* K)$  l'est aussi. Donc  $DK$  est  $(\mathbb{F} + d_X)$ -entier inverse (resp.  $d_X$ -entier).

On a le triangle distingué

$$j^* D(j_* K) \rightarrow DK \rightarrow i^* D(R i^* K) \rightarrow :$$

Le terme  $j_! D(jK) \in D^{\text{I-ent}}[2d_X; 2d_X]$  est entier inverse (resp.  $\mathbb{F}$ -entier). D'après 4.6,  $Ri^!K$  est entier (resp.  $R^0i^!K$  est entier inverse et  $R^ai^!K$  est  $(a-1)$ -entier inverse,  $a \geq 1$ ). D'après l'hypothèse de récurrence,  $D(Ri^!K)$  est entier inverse (resp.  $H^0(D(Ri^!K))$  est entier et  $H^a(D(Ri^!K))$  est  $(a+1)$ -entier,  $a \geq 1$ , en vertu de la suite spectrale

$$E_2^{pq} = H^p(D(R^qi^!K)) \rightarrow H^{p+q}(D(Ri^!K)):$$

Donc  $DK$  est entier inverse (resp.  $\mathbb{F}$ -entier et  $H^a(DK)$  est  $(a+1)$ -entier,  $a \geq 1$ ).  $\square$

*Démonstration de 2.5.* Les assertions (2.5.1) et (2.5.3) sont déjà démontrées en 4.2 et 4.5. Si  $f$  est séparé, alors (2.5.2) et (2.5.4) découlent de 2.4 et 2.7 :  $Rf^! : D_Y Rf_* D_X$  induit

$$\begin{aligned} D_C^b(X)_{\mathbb{F}\text{-ent}} \xrightarrow{D_X^!} D_C^b(X)_{(\mathbb{F}+d_X)\text{-ent}} \xrightarrow{Rf_!} D_C^b(Y)_{(\mathbb{F}+d_X)\text{-ent}} \xrightarrow{D_Y^!} D_C^b(Y)_{1; d_X\text{-ent}}; \\ D_C^b(X)_{\text{ent}} \xrightarrow{D_X^!} D_C^b(X)_{d_X\text{-ent}} \xrightarrow{Rf_!} D_C^b(Y)_{d_X\text{-ent}} \xrightarrow{D_Y^!} D_C^b(Y)_{d_X\text{-ent}} : \end{aligned}$$

Il reste à montrer (2.5.4) sans supposer  $f$  séparé. Pour cela, prenons un recouvrement ouvert affine  $W \rightarrow X$ . Soit  $g : \text{cosq}_0(W \rightarrow X) \rightarrow X$ . Alors  $Rf^! : Rf_* Rg_* g^!$ , et il suffit d'appliquer le résultat du cas séparé.  $\square$

**Remarque.** Les assertions (2.6.2) et (2.6.4) découlent de 2.7 :  $Rf^! : D_X f_* D_Y$  induit

$$\begin{aligned} D_C^b(Y)_{\mathbb{F}\text{-ent}} \xrightarrow{D_Y^!} D_C^b(Y)_{(\mathbb{F}+d_Y)\text{-ent}} \xrightarrow{f^!} D_C^b(X)_{(\mathbb{F}+d_Y)\text{-ent}} \xrightarrow{D_X^!} D_C^b(X)_{(1; d_Y)\text{-ent}}; \\ D_C^b(Y)_{\text{ent}} \xrightarrow{D_Y^!} D_C^b(Y)_{d_Y\text{-ent}} \xrightarrow{f^!} D_C^b(X)_{d_Y\text{-ent}} \xrightarrow{D_X^!} D_C^b(X)_{d_Y\text{-ent}} : \end{aligned}$$

Dans le cas  $f$  quasi-fini, on peut améliorer (2.5.2) comme suit.

**Proposition 4.8.** *Soit  $f : X \rightarrow Y$  un morphisme quasi-fini séparé de schémas de type fini sur  $\eta$  avec  $d_X = \dim X \geq 1$ . Alors  $Rf$  envoie  $D_C^b(X; \overline{Q}_1)_{\mathbb{F}\text{-ent}}$  dans  $D_C^b(Y; \overline{Q}_1)_{(\mathbb{F}+d_X)\text{-ent}}$ .*

*Démonstration.* Par le théorème principal de Zariski, on peut supposer que  $f$  soit une immersion ouverte dominante. Soit  $K \in M \text{od}_c(X; \overline{Q}_1)$  entier. On a le triangle distingué

$$i_* Ri^!f_* K \rightarrow f_* K \rightarrow Rf_* K;$$

où  $i : Y \setminus X \hookrightarrow Y$  est le fermé complémentaire. Il suffit donc d'appliquer (2.6.2).  $\square$

La proposition suivante généralise [DE06, 0.4].

**Proposition 4.9.** *Soient  $i : X \hookrightarrow Y$  une immersion de schémas de type fini sur  $\eta$  avec  $Y$  régulier,  $d_Y = \dim Y$ ,  $d_c = \text{codim}(X; Y)$ ,  $G \in M \text{od}_c(Y; \overline{Q}_1)$  entier (resp. entier inverse) lisse. Soit  $\varepsilon : Z \rightarrow Q$  une fonction vérifiant*

$$\varepsilon(a) = \begin{cases} \geq d_c & \text{si } 2d_c - a < d_c + d_Y, \\ a + 1 - d_c & \text{si } d_c + d_Y - a < 2d_c, \\ \geq d_Y & \text{si } a = 2d_Y. \end{cases}$$

Alors  $Ri^!G$  est  $\varepsilon$ -entier (resp.  $(1 - d_c)$ -entier inverse).

*Démonstration.* On va montrer que pour toute partie fermée  $W$  de  $X$ ,  $Ri_W^!G$  est  $\varepsilon$ -entier (resp.  $(1 - d_c)$ -entier inverse), où  $i_W : W \hookrightarrow Y$ . Ici on a muni  $W$  de la structure de schéma réduit induite. On fait une récurrence noethérienne. Le cas  $W = \emptyset$  est trivial. Pour  $W \neq \emptyset$ , on prend un ouvert régulier irréductible  $j : U \hookrightarrow W$ . Soit  $i_Z : Z \hookrightarrow W$  son complémentaire. On a le triangle distingué

$$i_Z^* Ri_Z^! Ri_W^! G \rightarrow Ri_W^! G \rightarrow Rj_* j^* Ri_W^! G :$$

D'après 3.2,  $j R i_W^! G = R (i_W j)^! G = R (d) [2d]$ , où  $d = \text{codim}(U; Y) - d$ . Si  $d_U = \dim U = 0$ , alors  $R j j R i_W^! G$  est  $\varepsilon$ -entier car  $\varepsilon(2d) - d$ ; si  $d_U > 0$ , alors d'après (2.5.1) et 4.8,  $R j j R i_W^! G$  est  $d$ -entier et  $(I + 1 - d - d)$ -entier, donc  $\varepsilon$ -entier, compte tenu du fait que  $d + d_U = d$ . (Resp. d'après (2.5.3),  $R j j R i_W^! G$  est  $(I - d)$ -entier inverse, donc  $(I - d)$ -entier inverse.) D'après l'hypothèse de récurrence,  $R i_Z^! R i_W^! G = R (i_W i_Z)^! G$  est  $\varepsilon$ -entier (resp.  $(I - d)$ -entier inverse). Donc  $R i_W^! G$  l'est aussi.  $\square$

**4.10. Démonstration de 2.6.** Les assertions (2.6.2) et (2.6.4) sont traitées plus haut. Pour le reste, on fait une récurrence sur  $d_Y$ . Le cas  $d_Y < 0$  est clair. Pour  $d_Y = 0$ , on peut supposer  $Y$  réduit. Soit  $G \in \mathcal{M} \text{od}_c(Y; \overline{\mathbb{Q}}_1)$  entier (resp. entier inverse). Il existe un ouvert régulier  $U$  de  $Y$  de complémentaire  $W$  de dimension  $d - 1$  tel que  $G|_U$  soit lisse. On considère le diagramme à carrés cartésiens

$$\begin{array}{ccccc} X_U & \xrightarrow{j^0} & X & \xleftarrow{i^0} & X_W \\ \downarrow f_U & & \downarrow f & & \downarrow f_W \\ U & \xrightarrow{j} & Y & \xleftarrow{i} & W \end{array}$$

On a le triangle distingué

$$(4.10.1) \quad i^0 R f_W^! R i^! G \rightarrow R f^! G \rightarrow R j^0 R f_U^! j^! G \rightarrow$$

D'après 4.6,  $R i^! G$  est entier (resp.  $I$ -entier inverse), donc  $R f_W^! R i^! G$  est  $d$ -entier (resp.  $(I + d)$ -entier inverse) en vertu de l'hypothèse de récurrence. Il reste à considérer  $R f_U^! (G|_U)$ .

Il suffit de montrer que pour  $Y$  régulier et  $G \in \mathcal{M} \text{od}_c(Y; \overline{\mathbb{Q}}_1)$  entier (resp. entier inverse) lisse,  $R f^! G$  est  $d$ -entier (resp.  $(I + d)$ -entier inverse). Le problème étant local sur  $Y$ , on peut supposer  $Y$  irréductible et que  $f$  se factorise en  $X \xrightarrow{i_X} A_Y^n \xrightarrow{j} Y$ , où  $i_X$  est une immersion fermée.  $A_Y^n$  est irréductible [EGAIV, 4.5.8], donc biéquidimensionnel [EGAIV, 5.2.1], donc  $\text{codim}(X; A_Y^n) = n + d_Y - d_X = n - d$ , car  $d_X = d + d_Y$ . Il suffit donc d'appliquer 4.9 à  $i_X$  et  $R p^! G [2n] = p G(n)$ .  $\square$

**4.11. Démonstration de 2.8.** Les assertions (2.8.2) et (2.8.4) découlent de 2.7 :

$$\text{RH om}_X(\cdot; \cdot) \rightarrow D_X(\cdot, D_X(\cdot))$$

induit

$$\begin{aligned} D_c^b(X)_{I\text{-ent}} &\rightarrow D_c^b(X)_{I\text{-ent}} \xrightarrow{(\text{id}, D_X)} D_c^b(X)_{I\text{-ent}} \rightarrow D_c^b(X)_{(I+d_X)\text{-ent}} \\ &\rightarrow D_c^b(X)_{(I+d_X)\text{-ent}} \xrightarrow{D_X} D_c^b(X)_{(I-d_X)\text{-ent}}; \\ D_c^b(X)_{\text{ent}} &\rightarrow D_c^b(X)_{\text{ent}} \xrightarrow{(\text{id}, D_X)} D_c^b(X)_{\text{ent}} \rightarrow D_c^b(X)_{d_X\text{-ent}} \\ &\rightarrow D_c^b(X)_{d_X\text{-ent}} \xrightarrow{D_X} D_c^b(X)_{d_X\text{-ent}} \rightarrow \end{aligned}$$

Pour le reste, il suffit de montrer que pour  $K; L \in \mathcal{M} \text{od}_c(X; \overline{\mathbb{Q}}_1)$ ,  $K$  entier inverse,  $L$  entier (resp.  $K$  entier,  $L$  entier inverse),  $\text{RH om}(K; L)$  est entier (resp.  $I$ -entier inverse). Par dévissage de  $K$ , on se ramène à supposer  $K$  de la forme  $j^! G$ , où  $j: Y \rightarrow X$  une immersion,  $G \in \mathcal{M} \text{od}_c(Y; \overline{\mathbb{Q}}_1)$  entier inverse (resp. entier) lisse. Alors

$$\text{RH om}_X(j^! G; L) \rightarrow R j \text{RH om}_Y(G; R j^! L)$$

Il suffit d'appliquer (2.6.1) et (2.5.1) (resp. (2.6.3) et (2.5.3)).  $\square$

## 5 Variantes et cycles proches

**Variante 5.1.** Soient  $k$  un corps fini,  $l$  un nombre premier  $\ell \nmid \text{car}(k)$ . Soit  $X$  un schéma de type fini sur  $k$ . Soit  $r \geq 2$ . On fixe un plongement  $\iota : \overline{\mathbb{Q}} \hookrightarrow \overline{\mathbb{Q}_l}$ . On dit qu'un  $\overline{\mathbb{Q}_l}$ -faisceau  $F$  est  $r$ -entier (resp.  $r$ -entier inverse) si pour tout point géométrique  $x$  au-dessus d'un point fermé  $\bar{x}$  de  $X$ , et toute valeur propre  $\alpha$  du Frobenius géométrique  $F_x \in \text{Gal}(\overline{\mathbb{K}(x)} = \overline{\mathbb{K}(x)})$  agissant sur  $F_x$ ,  $\alpha = \iota(q^r)$  (resp.  $\iota(q^r) = \alpha$ ) est entier sur  $\mathbb{Z}$ , où  $q = |\overline{\mathbb{K}(x)}|$ . Cette définition ne dépend pas du choix de  $\iota$ . On définit l'intégralité pour  $K \in D_c^b(X; \overline{\mathbb{Q}_l})$  de manière analogue à 2.2.

On a des résultats similaires pour les diverses opérations : 2.4 à 2.8, 3.8, 4.8, 4.9. Le cas entier de l'analogie de 2.4 est un théorème de Deligne [SGA7, XXI 5.2.2]. Les démonstrations des autres résultats sont similaires à celles données aux §§ 3 et 4.

**Variante 5.2.** Soient  $R$  un anneau de valuation discrète hensélien de corps résiduel fini  $k = F_{p^v}$ ,  $K$  son corps des fractions,  $S = \text{Spec} R$ ,  $\eta = \text{Spec} K$ ,  $s = \text{Spec} k$ . Soit  $X$  un schéma de type fini sur  $s$ . On a un topos  $X \rightarrow_s \eta$  [SGA7, XIII 1.2.4]. Rappelons qu'un faisceau d'ensembles sur  $X \rightarrow_s \eta$  est un faisceau sur  $X_s$  muni d'une action continue [ibid., 1.1.2] de  $\text{Gal}(\overline{\mathbb{K}} = \overline{\mathbb{K}})$ , compatible à l'action de  $\text{Gal}(\overline{\mathbb{K}} = \overline{\mathbb{K}})$  sur  $X_s$  (via  $\text{Gal}(\overline{\mathbb{K}} = \overline{\mathbb{K}}) \rightarrow \text{Gal}(k = k)$ ). Fixons un nombre premier  $l \nmid p$ . Soit  $F \in \text{Mod}_c(X \rightarrow_s \eta; \overline{\mathbb{Q}_l})$ . Pour  $x \in X$ , soit  $\iota_x \in \text{Gal}(k = \overline{\mathbb{K}(x)}) \rightarrow \text{Gal}(\overline{\mathbb{K}} = \overline{\mathbb{K}})$  un relèvement du Frobenius géométrique  $F_x \in \text{Gal}(k = \overline{\mathbb{K}(x)})$ . D'après le théorème de monodromie locale, les valeurs propres de  $\iota_x$  agissant sur  $F_x$  sont bien définies à multiplication près par des racines de l'unité. Soit  $r \geq 2$ . On fixe  $\iota : \overline{\mathbb{Q}} \hookrightarrow \overline{\mathbb{Q}_l}$ . On dit que  $F$  est  $r$ -entier (resp.  $r$ -entier inverse) si pour tout  $x \in X$  et toute valeur propre  $\alpha$  de  $\iota_x$  agissant sur  $F_x$ ,  $\alpha = \iota(q^r)$  (resp.  $\iota(q^r) = \alpha$ ) est entier sur  $\mathbb{Z}$ , où  $q = |\overline{\mathbb{K}(x)}|$ . Cette définition ne dépend pas des choix de  $\iota_x$  et de  $\iota$ . On définit l'intégralité pour  $K \in D_c^b(X \rightarrow_s \eta; \overline{\mathbb{Q}_l})$  de manière analogue à 2.2.

Toute section continue  $\sigma$  de  $\text{Gal}(\overline{\mathbb{K}} = \overline{\mathbb{K}}) \rightarrow \text{Gal}(k = k)$  induit un foncteur exact

$$\sigma : D_c^b(X \rightarrow_s \eta; \overline{\mathbb{Q}_l}) \rightarrow D_c^b(X; \overline{\mathbb{Q}_l})$$

Un complexe  $K \in D_c^b(X \rightarrow_s \eta; \overline{\mathbb{Q}_l})$  est  $\varepsilon$ -entier (resp.  $\varepsilon$ -entier inverse) si et seulement si  $\sigma(K)$  l'est. Comme  $\sigma$  commute aux six opérations et à la dualité, on déduit de 5.1 des résultats similaires pour ces opérations : 2.4 à 2.8, 3.8, 4.8, 4.9.

Soient  $S, \eta, s$ , 1 comme dans 5.2. Le résultat principal de ce § est le suivant.

**Théorème 5.3.** Soit  $X$  un schéma de type fini sur  $S$ . Le foncteur des cycles proches

$$R_{X \rightarrow_s \eta} : D_c^b(X_\eta; \overline{\mathbb{Q}_l}) \rightarrow D_c^b(X_s \rightarrow_s \eta; \overline{\mathbb{Q}_l})$$

induit

$$D_c^b(X_\eta; \overline{\mathbb{Q}_l})_{\text{ent}} \rightarrow D_c^b(X_s \rightarrow_s \eta; \overline{\mathbb{Q}_l})_{\text{ent}} \\ D_c^b(X_\eta; \overline{\mathbb{Q}_l})_{\text{I-ent}^{-1}} \rightarrow D_c^b(X_s \rightarrow_s \eta; \overline{\mathbb{Q}_l})_{\text{I-ent}^{-1}}$$

**5.4.** Soient  $S = \text{Spec} R$  un trait hensélien quelconque,  $\eta$  son point générique,  $s$  son point fermé. On va garder ces notations jusqu'en 5.7.

**Définition 5.5.** (a) Soient  $X$  un  $S$ -schéma de type fini,  $Z$  une partie fermée contenant  $X_s$ . On dit que le couple  $(X; Z)$  est *semi-stable* si, localement pour la topologie étale, il est de la forme

$$(\text{Spec} R[t_1; \dots; t_n] / (t_1 \dots t_r - \pi); Z);$$

où  $\pi$  est une uniformisante de  $R$ ,  $Z$  est défini par l'idéal  $(t_1 \dots t_s)$ ,  $1 \leq r \leq n$ . Le couple est dit *strictement semi-stable* s'il est semi-stable et si  $Z$  est la somme d'une famille finie de diviseurs réguliers de  $X$ .

(b) Soit  $X$  un  $S$ -schéma de type fini. On dit que  $X$  est *strictement semi-stable* si  $(X; X_S)$  est un couple strictement semi-stable.

Soit  $(X; Z)$  un couple strictement semi-stable avec  $Z = \bigcup_{i \in I} D_i$ ,  $(D_i)_{i \in I}$  une famille finie de diviseurs réguliers. Alors  $X_S = \bigcup_{j \in J} D_j$ , où  $J = \text{fi } 2 \text{ } I \text{ } \mathcal{D}_i \in X_S$ . Soit  $H = \bigcup_{j \in J} D_j$  la réunion des composantes horizontales. Alors  $Z = X_S \sqcup H$ .

Nous établirons d'abord 5.3 dans le cas semi-stable. Nous aurons besoin pour cela des points (ii) et (iii) du lemme suivant (la partie (i) est utilisée dans la preuve de (ii)) :

**Lemme 5.6.** Soient  $(X; Z)$  un couple strictement semi-stable sur  $S$ ,  $Z = \bigcup_{i \in I} D_i$  avec  $(D_i)_{i \in I}$  une famille finie de diviseurs réguliers,  $J$  comme plus haut,  $U = X \setminus Z$ ,  $u$  l'inclusion  $U \hookrightarrow X_\eta$ ,  $\nu = Z \setminus U$  avec  $\nu$  inversible sur  $S$ ,  $G \in \text{Mod}_c(U; \nu)$  localement constant, modérément ramifié sur  $X$ .

(i) Soient  $i \in J$ ,  $U^{(i)} = X \setminus \bigcup_{h \in I, h \neq i} D_h$ ,  $D_{i; U^{(i)}} = D_i \times U^{(i)}$ , d'où un diagramme à carrés cartésiens

$$\begin{array}{ccccccc}
 & & D_{i; U^{(i)}} & \xrightarrow{j_{(i)}^0} & (D_i)_\eta & \hookrightarrow & D_i \longleftarrow (D_i)_S \\
 & & \downarrow \iota_i^0 & & \downarrow (\iota_i)_\eta & & \downarrow \iota_i & & \downarrow (\iota_i)_S \\
 U & \xrightarrow{j^{(i)}} & U^{(i)} & \xrightarrow{j_{(i)}} & X_\eta & \hookrightarrow & X \longleftarrow & X_S
 \end{array}$$

$u$  (arc de la flèche  $U \rightarrow X_\eta$ )

Alors la flèche

$$(5.6.1) \quad \alpha : (\iota_i)_S R_X R_{j_{(i)}} (R_{j^{(i)}} G) \rightarrow R_{D_i} R_{j_{(i)}}^0 \iota_i^0 (R_{j^{(i)}} G)$$

composée de  $(\iota_i)_S R_X (R_u G) \rightarrow R_{D_i} (\iota_i)_\eta (R_u G)$  [SGA7, XIII (2.1.7.2)] et du changement de base  $R_{D_i} (\iota_i)_\eta R_{j_{(i)}} (R_{j^{(i)}} G) \rightarrow R_{D_i} R_{j_{(i)}}^0 \iota_i^0 (R_{j^{(i)}} G)$  est un isomorphisme.

(ii) Soient  $i \in I \setminus J$ ,  $U^{(i)}$ ,  $D_{i; U^{(i)}}$  comme plus haut, d'où un diagramme à carrés cartésiens

$$\begin{array}{ccc}
 U & \hookrightarrow & U^{(i)} \longleftarrow D_{i; U^{(i)}} \\
 \downarrow u & & \downarrow j_{(i)}^0 \\
 & & D_i \\
 \downarrow & & \downarrow (\iota_i)_S \\
 X_\eta & \hookrightarrow & X \longleftarrow X_S
 \end{array}$$

Alors  $R_{U^{(i)}} G \rightarrow R_{U^{(i)}} G \in \text{Mod}_c(D_{i; U^{(i)}} \rightarrow S; \nu)$  est lisse, modérément ramifié sur  $D_i$ , et le morphisme

$$(5.6.2) \quad \beta : (\iota_i)_S R_X R_u G \rightarrow R_{j_{(i)}}^0 R_{U^{(i)}} G$$

déduit de  $R_X R_u G \rightarrow (\iota_i)_S R_{j_{(i)}}^0 R_{U^{(i)}} G$  [SGA7, XIII (2.1.7.1)] est un isomorphisme.

(iii) Supposons que  $J = \emptyset$ . Soit  $f : Y \rightarrow X$  un morphisme de schémas tel que  $Y$  soit un  $S$ -schéma strictement semi-stable avec  $(f^{-1}(D_i))_{i \in I}$  une famille de diviseurs réguliers de  $Y$ . Alors le morphisme

$$(5.6.3) \quad \gamma : f_S R_X G \rightarrow R_{Y_\eta} G$$

[SGA7, XIII (2.1.7.2)] est un isomorphisme.

Le point (ii) est une généralisation partielle de [Ill02, 1.5 (a)].

*Démonstration.* On remplace tout d'abord le premier énoncé de (ii) par l'assertion que les faisceaux  $R^q \cup_{(i)} G, q \geq 2$  sont lisses, modérément ramifiés sur  $D_i$ . L'annulation des cycles proches supérieures résultera de (iii).

La question est locale sur  $X$ . Soit  $y$  un point de  $X_s$ . On peut supposer que  $y \in D_j$  pour tout  $j \in I$ . Soit  $\pi$  une uniformisante de  $R$ . Il existe un ouvert de  $X$  contenant  $y$ , lisse sur

$$\text{Spec} R[\tau_j]_{j \in I} = \left( \begin{array}{c} Y \\ \tau_j \\ \pi \end{array} \right)$$

avec  $\tau_j$  définissant  $D_j$ . En vertu du lemme d'Abhyankar, il existe, au voisinage de  $y$ , un revêtement fini  $\sigma : \mathcal{X} = X[\tau_j]_{j \in I} = (\tau_j^n - \tau_j)_{j \in I} \rightarrow X$  où  $n$  est un entier premier à l'exposant caractéristique de  $s$ , tel que  $(\sigma^* \mathcal{J}) \otimes G$  se prolonge en un  $\mathcal{O}$ -module localement constant constructible sur  $\mathcal{X}$ . Comme  $G$  s'injecte dans  $(\sigma^* \mathcal{J}) \otimes G$  et le quotient  $G_1$  est modérément ramifié sur  $X$ , on peut itérer cette construction. Pour tout  $N \geq 1$ , on obtient, quitte à rétrécir  $X$ , une résolution

$$G \rightarrow (\sigma^* \mathcal{J}) \otimes G \rightarrow (\sigma_1^* \mathcal{J}) \otimes G_1 \rightarrow \dots \rightarrow \sigma_N^* \mathcal{J} \otimes G_N \rightarrow 0$$

Donc on est ramené à montrer le lemme pour le faisceau  $(\sigma^* \mathcal{J}) \otimes G$ .

Soient  $R_1$  l'anneau obtenu en adjoignant à  $R$  les  $n$ -ièmes racines de l'unité,  $R^0 = R_1[\tau] = (\tau^n - \tau, \pi)$ ,  $S^0 = \text{Spec} R^0$ . Comme  $R$  commute au changement de traits  $S^0 \rightarrow S$  [SGA4 $\frac{1}{2}$ , Th. finitude, 3.7], il suffit de montrer le lemme pour  $(\sigma^* \mathcal{J}) \otimes G|_{S^0} = (\sigma_{S^0}^* \mathcal{J}_{S^0}) \otimes G_{S^0}$ . Or  $X_{S^0} = \bigcup_{\zeta} X_{\zeta}$ , où  $X_{\zeta}$  est lisse sur

$$\text{Spec} R[\tau_j]_{j \in I} = \left( \begin{array}{c} Y \\ \tau_j \\ \zeta \end{array} \right);$$

$\zeta$  parcourt les  $n$ -ièmes racines de l'unité. Donc  $(X_{S^0}, \mathcal{G}_{S^0}^{-1}(\mathbb{Z}_{S^0})_{\text{red}})$  est un couple strictement semi-stable avec  $(\mathcal{G}_{S^0}^{-1}(\mathbb{D}_{i,S^0})_{\text{red}})_{i \in I}$  une famille de diviseurs réguliers.

On peut alors se ramener à montrer le lemme pour un faisceau  $G$  qui se prolonge en un  $\mathcal{O}$ -module localement constant constructible sur  $X$ , puis au cas  $G = \mathcal{O}_U$  par la formule de projection.

L'assertion (iii) découle alors de la functorialité de [Ill04, 3.3]. Plus précisément, on a les diagrammes commutatifs

$$\begin{array}{ccc} \wedge^q f_s R^1 \rightarrow f_s R^q & & \\ \downarrow \wedge^q H^{-1} \gamma & & \downarrow H^q \gamma \\ \wedge^q R^1 \rightarrow R^q & & \end{array}$$

et

$$\begin{array}{ccccccc} 0 \rightarrow f_s \mathcal{O}_{X_s}(-1) \rightarrow f_s i_X R^1 j_X^* \mathcal{O}_{X_\eta} \rightarrow f_s R^1 \mathcal{O}_{X_\eta} \rightarrow 0 \\ \downarrow \text{'} & & \downarrow \text{3.7(ii)} & & \downarrow H^{-1} \gamma \\ 0 \rightarrow \mathcal{O}_{Y_s}(-1) \rightarrow i_Y R^1 j_Y^* \mathcal{O}_{Y_\eta} \rightarrow R^1 \mathcal{O}_{Y_\eta} \rightarrow 0 \end{array}$$

où  $j_X : X_\eta \rightarrow X$ ,  $j_Y : Y_\eta \rightarrow Y$ ,  $i_X : X_s \rightarrow X$ ,  $i_Y : Y_s \rightarrow Y$ . Les lignes du deuxième diagramme sont des suites exactes courtes et le carré à gauche est donné par le diagramme commutatif

$$\begin{array}{ccccc} f_s \mathcal{O}_{X_s}(-1) \xrightarrow{d} f_s^L i_{I_2} \mathcal{O}_{X_{i_1}}(-1) \xrightarrow{c} f_s i_X R^1 j_X^* \mathcal{O}_{X_\eta} \\ \downarrow \text{'} & & \downarrow \text{'} & & \downarrow \\ \mathcal{O}_{Y_s}(-1) \xrightarrow{d} i_{I_2}^L \mathcal{O}_{Y_{i_1}}(-1) \xrightarrow{c} i_Y R^1 j_Y^* \mathcal{O}_{Y_\eta} \end{array}$$

où les flèches marquées  $d$  sont des diagonales et celles marquées  $c$  sont induites par les classes des diviseurs réguliers.

(i) Il s'agit de montrer l'assertion suivante :

(A) Le morphisme de foncteurs

$$(5.6.4) \quad (t_i)_s R_X R_{j(i)} ! R_{D_i} R_{j(i)}^0 t_i^0$$

induit un isomorphisme sur  $R_{j(i)} U$ .

On a un triangle distingué

$$(t_i^0)_{D_{i;U(i)}} (1)[2] !_{U(i)} ! R_{j(i)} U ! :$$

Comme (5.6.4) induit trivialement un isomorphisme sur le premier terme, (A) équivaut à

(B) Le morphisme (5.6.4)  $U(i)$

$$(5.6.5) \quad (t_i)_s R_X R_{j(i)} U(i) ! R_{D_i} R_{j(i)}^0_{D_{i;U(i)}}$$

est un isomorphisme.

On montre ces énoncés par récurrence sur  $|J| - 1$ . Le cas  $|J| = 0$  est vide.

Dans le cas général, on montre d'abord que pour tout  $s \geq 2$   $j \in J$  fig, (5.6.5)  $j(D_{ij})_s$  est un isomorphisme, où  $D_{ij} = D_i \setminus D_j$ . Soit  $U_{(ij)} = X_{\bigcap_{h \in I \setminus \{i,j\}} D_h}$ . On considère le diagramme commutatif

D'après [SGA4, XII 4.4 (i)], le composé

$$\begin{aligned} (t_{ij})_s R_X R_{(j_2 j_1)} U_{(i)} \\ ! (t_{j,i})_s R_{D_i} R_{(j_2 j_1)}^0_{D_{i;U(i)}} (5.6.5) j(D_{ij})_s \\ ! R_{D_{ij}} R_{j_2}^0 (R_{j_1}^0_{D_{i;U(i)}}) \mathcal{D}_{ij;U(ij)} \text{ hypothèse de récurrence (A)} \end{aligned}$$

est égal au composé

$$\begin{aligned} (t_{ij})_s R_X R_{(j_2 j_1)} U_{(i)} \\ ! (t_{j,j})_s R_{D_j} R_{(j_2 j_1)} (R_{j_1} U_{(i)}) \mathcal{D}_{j;U(ij)} \text{ hypothèse de récurrence (A)} \\ ! R_{D_{ij}} R_{j_2}^0 (R_{j_1} U_{(i)}) \mathcal{D}_{ij;U(ij)} ( ) \\ ! R_{D_{ij}} R_{j_2}^0 (R_{j_1}^0_{D_{i;U(i)}}) \mathcal{D}_{ij;U(ij)} 3.7 (ii) \end{aligned}$$

où ( ) est un morphisme de type §.6.4) appliqué à  $(R_{j_1} U_{(i)}) \mathcal{D}_{j;U(ij)}$ . On a le triangle distingué

$$D_{j;U(ij)} (1)[2] !_{D_{j;U(ij)}} ! (R_{j_1} U_{(i)}) \mathcal{D}_{j;U(ij)} ! :$$

Donc l'hypothèse de récurrence (B) implique que ( ) est un isomorphisme. Il en résulte que (5.6.5)  $j_{\mathbb{D}_{ij}}^s$  est un isomorphisme.

Il reste à montrer que (5.6.5)  $j_{(V_i)_s}$  est un isomorphisme, où

$$V_i = X \quad \begin{matrix} \lrcorner \\ \text{h2J fig} \end{matrix} \quad D_h :$$

Comme  $(V_i)_\eta = U_{(i)}$ ,  $j_{(i);V_i} = \text{id}_{U_{(i)}}$ , ceci découle de (iii).

(ii) D'après [Ill04, 3.3],  $R_{U_{(i)} \cup U'}^{D_{i;U_{(i)}}$ , donc est modérément ramifié sur  $D_i$ .

Pour montrer que  $\beta$  est un isomorphisme, traitons d'abord deux cas spéciaux : (a)  $J = 0$ ; (b)  $J(\mathbb{I} - J) = J = 1$ .

Dans le cas (a), on a  $U = X_\eta$ ,  $j_h = \text{id}_{X_\eta}$ . On pose  $D = D_i$ ,  $E = \bigcup_{j \in J} D_j$ ,  $D = D \setminus E = D_{i;U_{(i)}}$ , d'où un diagramme commutatif

$$\begin{array}{ccccc} U & \xrightarrow{j^{(i)}} & X & \xleftarrow{t_i^0} & D \\ \parallel & & \downarrow j^{(i)} & & \downarrow j_{(i)}^0 \\ X_\eta & \xrightarrow{j} & X & \xleftarrow{t_i} & D \\ & & & & \downarrow (t_i)_s \\ & & & & X_s \end{array}$$

On a le carré commutatif

$$\begin{array}{ccc} \wedge^q (t_i)_s R^1_{X \cup U} & \longrightarrow & (t_i)_s R^1_{X \cup U} \\ \downarrow \wedge^q H^{-1} \beta & & \downarrow H^{-q} \beta \\ \wedge^q R^1 j_{(i)}^0 R_{U_{(i)} \cup U} & \longrightarrow & R^q j_{(i)}^0 R_{U_{(i)} \cup U} \\ \uparrow \cdot & & \uparrow \cdot \\ \wedge^q R^1 j_{(i)}^0 D & \longrightarrow & R^q j_{(i)}^0 D \end{array}$$

Donc il suffit de montrer que  $H^{-1} \beta$  est un isomorphisme.

On a le diagramme commutatif

$$\begin{array}{ccccc} & & \mathfrak{t}_i R^j_{U} & \xrightarrow{p_1} & (t_i)_s R^j_{X \cup U} \\ & & \parallel & & \downarrow \beta \\ \mathfrak{t}_i R^j_{(i)} \times E & \xrightarrow{r_1} & \mathfrak{t}_i R^j_{(i)} R^j_{(i)} U & & \\ \downarrow b_1 & & \downarrow b_2 & & \\ R^j_{(i)} \mathfrak{t}_i^0 \times E & \xrightarrow{r_2} & R^j_{(i)} \mathfrak{t}_i^0 R^j_{(i)} U & \xrightarrow{p_2} & R^j_{(i)} R^j_{X \cup U} \end{array}$$

où  $b_1, b_2$  sont des changements de base,  $r_1, r_2$  sont induits par l'adjonction  $X \cup E \rightarrow R^j_{(i)} U$ . La flèche  $b_1$  est un isomorphisme en vertu de 3.7 (ii). Le composé  $p_2 r_2$  est induit de l'isomorphisme  $D \rightarrow R^j_{X \cup E} U$ , donc est un isomorphisme. On a

$$\begin{aligned} H^{-1} \mathfrak{t}_i R^j_{(i)} \times E &= \bigoplus_{j \in J} (t_{j;i})_{D_{ij}} ; \\ H^{-1} \mathfrak{t}_i R^j_{U} &= \bigoplus_{j \in J} (t_{j;i})_{D_{ij}} ; \end{aligned}$$

$H^1(\mathfrak{t}_i)_S R_{X \cup U}$  est le quotient de  $\prod_{j \in I} \text{Fig}(\mathfrak{t}_{j,i})_{D_{i_j}}$  par  $D_i$  inclus diagonalement,  $H^1 r_1$  est l'inclusion dans le second membre,  $H^1 p_1$  est la projection. Donc  $H^1(p_1 r_1)$  est un isomorphisme. Il s'en suit que  $H^1 \beta$  est un isomorphisme. D'où (a).

Dans le cas (b), on a  $D_i = X_s$ ,  $(\mathfrak{t}_i)_S = \text{id}_{X_s}$ ,  $H = D_j$  où  $j$  est l'élément de  $J$ . On pose  $V = U_{(i)} = X \rightarrow H$ , d'où un diagramme à carrés cartésiens

$$\begin{array}{ccccc}
 U & \xrightarrow{\quad} & V & \xleftarrow{i_v} & V_s \\
 \downarrow u & & \downarrow v & & \downarrow v_s \\
 X_\eta & \xrightarrow{\quad} & X & \xleftarrow{i} & X_s \\
 \nearrow H_\eta & & \nearrow h & & \nearrow H_s \\
 H_\eta & \xrightarrow{\quad} & H & \xleftarrow{\quad} & H_s
 \end{array}$$

On a le triangle distingué

$$i R v \rightarrow R v \xrightarrow{\beta^0} R_x R u \rightarrow R_x R v \rightarrow R v \rightarrow \dots$$

On a

$$R^q v = \begin{cases} \cong_x & \text{si } q = 0, \\ h_H(-1) & \text{si } q = 1, \\ 0 & \text{sinon.} \end{cases}$$

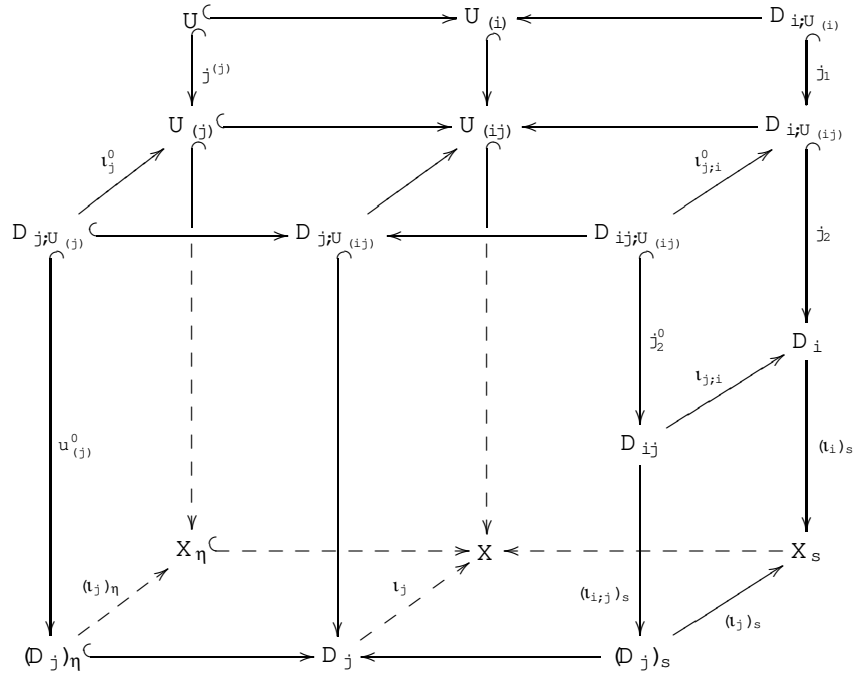
Donc  $R_x R^q v = 0$ , pour tout  $q$ . Donc  $R_x R v = 0$ ,  $\beta^0$  est un isomorphisme. Par ailleurs, on a le diagramme commutatif

$$\begin{array}{ccc}
 i R v & \xrightarrow{\beta^0} & R_x R u \\
 \downarrow 3.7 \text{ (ii)} & & \downarrow \beta \\
 R v_s \xrightarrow{i_v} & & R v_s \rightarrow R v \rightarrow u
 \end{array}$$

Donc  $\beta$  est un isomorphisme. D'où (b).

Pour le cas général, procédons par récurrence sur  $|J|$ . Le cas  $|J| = 0$  est le cas (a) traité

plus haut. Supposons  $j \in J$ . Prenons  $j \in J$ , d'où un diagramme commutatif



On a un diagramme commutatif dans  $D_c^b(D_{ij}, s, \eta; )$   
 (y)

$$\begin{array}{ccc}
 \iota_{j,i} (t_i)_s R_{X \cup U} \xrightarrow{\beta_1} \iota_{j,i} R_{D_j} R_{U^{(ij)}} R^{(j)} \xrightarrow{(b)} \iota_{j,i} R_{D_j} R_{U^{(i)}} \xrightarrow{3.7 (i)} \iota_{j,i} R_{U^{(i)}} \\
 \parallel \qquad \qquad \qquad \downarrow \text{chg}^t \text{ de base} \qquad \qquad \qquad \downarrow \\
 (t_{i,j})_s (t_j)_s R_{X \cup U} \xrightarrow{\beta_2} R_{D_j}^0 \iota_{j,i}^0 R_{U^{(ij)}} R^{(j)} \xrightarrow{(b)} R_{D_j}^0 \iota_{j,i}^0 R_{U^{(i)}} \xrightarrow{3.7 (i)} \iota_{j,i}^0 R_{U^{(i)}} \\
 \downarrow (i) \qquad \qquad \qquad \downarrow (i) \\
 (t_{i,j})_s R_{D_j} R_{U^{(j)}} \xrightarrow{\beta_2} R_{D_j}^0 R_{U^{(ij)}} \iota_j^0 R_j \xrightarrow{\beta_2} R_{D_j}^0 R_{U^{(ij)}} \iota_j^0 R_j
 \end{array}$$

où  $\beta_{ij}$  est le composé des deux flèches de la première ligne de (y),  $\beta_1$  est induit par une flèche de type (5.6.2) et  $\beta_2$  est une flèche de type (5.6.2). La commutativité du carré à droite est claire et celle du carré à gauche se voit en appliquant 5.7 au carré

$$\begin{array}{ccc}
 D_{j;U^{(ij)}} & \longrightarrow & U^{(ij)} \\
 \downarrow & & \downarrow \\
 D_j & \longrightarrow & X
 \end{array}$$

La flèche  $\beta_2$  est un isomorphisme en vertu de l'hypothèse de récurrence et du triangle distingué

$$D_{j;U^{(j)}} (1) [2] ! \quad D_{j;U^{(j)}} ! \quad \iota_j^0 R_j \xrightarrow{\beta_2} \iota_j^0 R_j$$

Donc  $\beta_{ij}$  est un isomorphisme. Il reste à montrer que  $\beta_j(D_i, D_{ij})$  est un isomorphisme, ce qui résulte de l'hypothèse de récurrence.  $\square$

**Lemme 5.7.** *Soient*

$$\begin{array}{ccc} X^0 & \xrightarrow{h} & X \\ \downarrow f^0 & & \downarrow f \\ Y^0 & \xrightarrow{g} & Y \end{array}$$

*un carré commutatif de  $S$ -schémas, un anneau. Alors on a un diagramme commutatif de foncteurs  $D^+(\mathcal{X}_\eta; \cdot) \rightarrow D^+(\mathcal{Y}_s^0; \cdot)$*

$$\begin{array}{ccccc} & & g_s R f_s R x & \longrightarrow & R f_s^0 h_s R x \\ & \nearrow & & & \searrow \\ g_s R y R f_\eta & & & & R f_s^0 R x \circ h_\eta \\ & \searrow & & & \nearrow \\ & & R y \circ g_\eta R f_\eta & \longrightarrow & R y \circ R f_\eta^0 h_\eta \end{array}$$

*où les flèches horizontales sont des changements de base, les flèches montantes sont [SGA7, XIII (2.1.7.1)], les flèches descendantes sont [ibid., XIII (2.1.7.2)].*

*Démonstration.* Soient  $K = \kappa(\eta)$ ,  $\bar{K}$  une clôture séparable de  $K$ ,  $\eta = \text{Spec } \bar{K}$ ,  $\bar{S}$  le normalisé de  $S$  dans  $\eta$ . On ajoute une barre au-dessus pour le changement de base  $\bar{S} \rightarrow S$ . On note  $i : S \rightarrow \bar{S}$ ,  $j : \eta \rightarrow \bar{S}$ . Il suffit de montrer la commutativité du diagramme de foncteurs  $D^+(\mathcal{X}_\eta; \cdot) \rightarrow D^+(\mathcal{Y}_s^0; \cdot)$

$$\begin{array}{ccccccc} & & g_s R f_s i_x R j_x & \longrightarrow & R f_s^0 h_s i_x R j_x & & \\ & & \nearrow & & \searrow & & \\ & g_s i_y R f R j_x & & & R f_s^0 i_x \circ h R j_x & & \\ g_s i_y R j_x R f_\eta & & i_y g R f R j_x & \longrightarrow & i_y R f^0 h R j_x & & R f_s^0 i_x \circ R j_x \circ h_\eta \\ & \searrow & \nearrow & & \searrow & & \nearrow \\ & i_y \circ g R j_x R f_\eta & & & i_y \circ R f^0 R j_x \circ h_\eta & & \\ & \searrow & \nearrow & & \nearrow & & \\ & i_y \circ R j_x \circ g_\eta R f_\eta & \longrightarrow & i_y \circ R j_x \circ R f_\eta^0 h_\eta & & & \end{array}$$

où toutes les flèches sont des changements de base. La commutativité de la cellule en haut (resp. en bas) résulte de [SGA4, XII 4.4 (i)] (resp. [SGA4, XII 4.4 (ii)]). Les commutativités des deux autres cellules sont triviales.  $\square$

**Proposition 5.8.** *Soient  $S$  comme dans 5.2,  $(\mathcal{X}; Z)$  un couple semi-stable sur  $S$ ,  $U = \mathcal{X} \times_S Z$ ,  $u : U \rightarrow \mathcal{X}_\eta$ ,  $G \in \text{Mod}_c(U; \bar{\mathbb{Q}}_1)$  entier (resp. entier inverse) lisse, modérément ramifié sur  $X$ . Alors  $R_x R u_* G$  est  $\mathbb{I}$ -entier (resp.  $\mathbb{I}$ -entier inverse).*

*Démonstration.* On peut supposer que  $(\mathcal{X}; Z)$  est un couple strictement semi-stable sur  $S$ .

Traisons d'abord le cas particulier où  $Z$  est un diviseur régulier. Alors  $Z = X_s$ ,  $U = X_\eta$ ,  $u = \text{id}$ ,  $X$  est lisse sur  $S$ . Soit  $x \in \mathcal{X}_s$ . Quitte à faire un changement de traits étale, on peut supposer que  $X \rightarrow S$  admet une section  $\sigma$  tel que  $\sigma(s) = x$ . D'après 5.6 (iii),  $(R_x G)_x = \sigma_s R_x G \rightarrow R_s \sigma_* G$  est  $\mathbb{I}$ -entier (resp.  $\mathbb{I}$ -entier inverse), car  $R_s$  s'identifie à l'identité.

Le cas général découle de 5.6 (ii), du cas spécial ci-dessus, et de la variante 5.2 de 3.8 (resp. 4.5) au-dessus de  $s \rightarrow \eta$ .  $\square$

**5.9.** Pour la démonstration de 5.3, nous aurons besoin du lemme 5.10 ci-après, analogue de 4.1.

Reprenons les notations de 5.4, qu'on va garder jusqu'en 5.10. Soient  $X$  un  $S$ -schéma séparé de type fini,  $U \subset X_\eta$  une partie ouverte. Pour  $f : S^0 \rightarrow S$  un morphisme fini de traits et  $g : Y \rightarrow X_{S^0}$  un morphisme propre de schémas, on considère la condition suivante :

**5.9.1** On a  $Y = Y_1 \cup Y_2$ , où  $Y_1$  est strictement semi-stable sur  $S^0$ ,  $g^{-1}(U) \subset Y_2$  et  $(Y_2; Y_2 \rightarrow g^{-1}(U))$  est un couple strictement semi-stable sur  $S^0$ .

**Lemme 5.10.** (i) *Il existe un morphisme fini de traits  $S^0 \rightarrow S$  et un morphisme propre  $r_0 : X_0^0 \rightarrow X_{S^0}$  de schémas vérifiant 5.9.1 (où  $Y = X_0^0$ ) et tels que  $(r_0)_\eta$  surjectif.*

(ii) *Pour  $n \geq 0$ , il existe un morphisme fini de traits  $f : S^0 \rightarrow S$  et une augmentation de schéma simplicial  $n$ -tronqué  $s$ -scindé  $r : X^0 \rightarrow X_{S^0}$  tels que pour  $0 \leq m \leq n$ ,  $f$  et  $r_m$  vérifient 5.9.1 (où  $Y = X_m^0$ ) et que  $r_\eta$  soit un hyperrecouvrement propre  $n$ -tronqué.*

*Démonstration.* (i) Cas  $X$  intègre et  $X_\eta$  géométriquement irréductible. Résulte de [dJ96, 6.5]. Notons que l'hypothèse dans [ibid.] que  $S$  soit complet peut être éliminée, voir [Zhe].

Cas général. On peut supposer que les composantes irréductibles de  $X_\eta$  sont géométriquement irréductibles. On fait une récurrence sur le nombre  $n$  de composantes irréductibles de  $X_\eta$ .

Si  $n = 0$ , alors  $X_\eta$  est vide. On prend  $S^0 = S$ ,  $X_0^0 = \emptyset$ . (i) est évident.

Pour  $n \geq 1$ , on prend une composante irréductible  $U_1$  de  $X_\eta$ . Soit  $X_1$  l'adhérence de  $U_1$  dans  $X$ . C'est une composante irréductible de  $X$ . Soit  $X_2$  la réunion des autres composantes irréductibles de  $X$ . On munit  $X_1$  et  $X_2$  des structures de schéma réduit induites.  $(X_2)_\eta$  a  $n - 1$  composantes irréductibles, qui sont géométriquement irréductibles. On a un morphisme fini surjectif  $X_1 \rightarrow X_2 \rightarrow X$ . On applique (i) à  $X_1$  et obtient  $S_1 \rightarrow S$  et  $(X_1)_0^0 \rightarrow (X_1)_{S_1}$ . Il suffit alors d'appliquer l'hypothèse de récurrence à  $(X_2)_{S_1}$ .

(ii) On fait une récurrence sur  $n$ . Quand  $n = 0$ , (ii) dégénère en (i). Supposons donnés  $S_n \rightarrow S$  et  $r^{(n)} : X^{(n)} \rightarrow X_{S_n}$  vérifiant (ii). On applique (i) au schéma  $(\text{cosq}_n(X^{(n)} = X_{S_n}))_{n+1}$  sur  $S_n$  (avec  $U$  remplacé par son image inverse) et obtient un morphisme fini de traits  $S^0 \rightarrow S_n$  et un morphisme  $\beta : N \rightarrow (\text{cosq}_n(X^{(n)}_{S^0} = X_{S^0}))_{n+1}$  propre avec  $\beta_\eta$  surjectif vérifiant 5.9.1. Alors le  $X_{S^0}$ -schéma simplicial  $(n+1)$ -tronqué  $s$ -scindé  $r : X^0 \rightarrow X_{S^0}$  associé au triplet  $(X^{(n)}_{S^0}; N; \beta)$  vérifie les conditions de (ii) pour  $n+1$ .  $\square$

*Démonstration de 5.3.* La démonstration est parallèle à celle de (2.5.1).

On fait une récurrence sur  $d = \dim X_\eta$ . Le cas  $d < 0$  est trivial.

Soit  $d \geq 0$ . Il faut montrer que pour  $G \in \mathcal{M}(\mathbb{C}_d; \mathbb{Q}_1)$  entier (resp. entier inverse),  $R_{X/G}$  est entier (resp. entier inverse).

On peut supposer  $X_\eta$  réduit. On peut supposer  $X$  affine, donc séparé. Choisissons  $j : U \rightarrow X_\eta$  ouvert régulier tel que  $G \rightarrow U$  soit lisse et que son complémentaire  $Z = X_\eta \setminus U$  soit de dimension  $< d$ . Soient  $\bar{Z}$  l'adhérence de  $Z$ ,  $i : \bar{Z} \rightarrow X$ . On a le triangle distingué

$$R_{X/\eta} \rightarrow R_{\bar{Z}/\eta} \rightarrow R_{Z/\eta} \rightarrow R_{X/G} \rightarrow R_{X/R} \rightarrow R_{j/G} \rightarrow \dots$$

Comme  $R_{X/\eta} \rightarrow R_{\bar{Z}/\eta} \rightarrow R_{Z/\eta}$  est entier (resp. entier inverse) en vertu de l'hypothèse de récurrence, il suffit de voir que  $R_{X/R} \rightarrow R_{j/G}$  est entier (resp. entier inverse).

Soit  $H = j/G$ .  $H \rightarrow (H \otimes_{\mathbb{C}} \mathbb{C}) \rightarrow \mathbb{C}$  avec  $H \otimes_{\mathbb{C}} \mathbb{C}$  lisse. Soit  $p : U^0 \rightarrow U$  un revêtement étale surjectif qui trivialise  $H \otimes_{\mathbb{C}} \mathbb{C} \rightarrow \mathbb{C}$  ( $\mathbb{C} = \mathfrak{m}$ ), où  $\mathfrak{m}$  est l'idéal maximal de  $\mathbb{C}$ .  $H$  est facteur direct de  $p^* H$ , de sorte qu'il suffit de voir l'intégralité (resp. l'entériorité inverse) de  $R_{X/R} \rightarrow R_{(j/p)^* H}$ . On factorise le composé  $U^0 \rightarrow X_\eta \rightarrow X$  en  $U^0 \rightarrow X^0 \rightarrow X$  où  $j^0$  est une immersion ouverte et  $g$  propre.

$$R_{X/R} \rightarrow R_{(j/p)^* H} \rightarrow R_{g_*} R_{X^0/R} \rightarrow R_{X^0/p^* H} :$$

Donc il suffit de vérifier que pour  $X$  un schéma séparé de type fini sur  $S$ ,  $j : U \rightarrow X_\eta$  un ouvert et  $G \in \text{Mod}_c(U; \overline{\mathbb{Q}}_1)$  entier (resp. entier inverse),  $G' \in (G_0 \otimes E) \in \overline{\mathbb{Q}}_1$  avec  $G_0 \otimes (\mathcal{O} = \mathfrak{m})$  constant, on a  $R_X R_j G$  entier (resp.  $\mathbb{F}$ -entier inverse).

Soit  $i = 0$ . On applique 5.10 (ii) à  $j$  et  $n = i + 1$ . On obtient un morphisme fini de traits  $f : S^0 \rightarrow S$  et un carré cartésien de schémas simpliciaux  $(i + 1)$ -tronqués  $s$ -scindés

$$\begin{array}{ccc} U^0 & \longrightarrow & X^0 \\ \downarrow s & & \downarrow r \\ U_{S^0} & \longrightarrow & X_{S^0} \end{array}$$

où  $s$  est un hyperrecouvrement propre  $(i + 1)$ -tronqué et  $r_m$  vérifie 5.9.1,  $0 \leq m \leq i + 1$ . On note des changements de base de  $f$  encore par  $f$ .

$$f^* R_{X=S} R_j G' \simeq R_{X_{S^0}=S^0} f^* R_j G' \simeq R_{X_{S^0}=S^0} R_{j_{S^0}} G_{S^0};$$

donc

$$\begin{aligned} \tau_{i+1} f^* R_{X=S} R_j G' &\simeq \tau_i R_{X_{S^0}=S^0} R_{j_{S^0}} R_s \simeq G_{S^0} \\ &= \tau_i R_{X_{S^0}=S^0} R_{r_\eta} R_j^0 \simeq G_{S^0} \simeq \tau_i R_{r_s} R_j^0 \simeq G_{S^0}; \end{aligned}$$

Il suffit de voir que  $R_{X_{S^0}=S^0} R_{j_{S^0}}^0 \simeq G_{S^0}$  est entier (resp.  $\mathbb{F}$ -entier inverse),  $0 \leq m \leq i$ . Il suffit alors d'appliquer 5.8 (ce qui est licite, car les  $G_{S^0}$  sont modérés).  $\square$

**Variante 5.11.** Soient  $S, \eta, s, l$  comme dans 5.2. Soient  $X$  un schéma de type fini sur  $S$ ,  $F \in \text{Mod}_c(X; \overline{\mathbb{Q}}_1)$ . Pour  $r \in \mathbb{Q}$ ,  $F$  est dit  $r$ -entier (resp.  $r$ -entier inverse) si  $F_\eta$  et  $F_s$  le sont. De même pour les complexes. On prend  $\delta(X) = \max\{\dim X_\eta + 1, \dim X_s\}$ ,  $D_X = \text{RHom}(\cdot; R_{\overline{\mathbb{Q}}_1}(1)[\mathbb{Z}])$ , où  $\alpha_X : X \rightarrow S$ . On a les analogues de 2.4 à 2.8, 4.8, 4.9, en remplaçant  $\dim$  par  $\delta$ ,  $d_r$  par  $\max\{2 - \delta, \eta\} + \delta - s$   $\dim f^{-1}(y)$ . On a aussi un analogue de 3.8 en ajoutant l'hypothèse que  $(X; D)$  est un couple semi-stable sur  $S$ .

En effet, 2.4 pour  $S$  découle trivialement de 2.4 pour  $s$  et pour  $\eta$ . Pour l'analogue de 3.8, soit  $F \in \text{Mod}_c(U; \overline{\mathbb{Q}}_1)$  lisse, entier, modérément ramifié sur  $X$ . D'après 3.8 pour  $\eta$  et 5.8,  $R_u F$  et  $R_X R_u F$  sont  $\mathbb{F}$ -entiers, où  $u : U \rightarrow X_\eta$ . Soit  $I = \text{Ker}(\text{Gal}(\eta=s) \rightarrow \text{Gal}(s=s))$  le groupe d'inertie. C'est une extension de  $\hat{Z}_p(1)$  par un pro- $p$ -groupe  $P$ . La suite spectrale de Hochschild-Serre donne

$$E_2^{p,q} = H^p(\mathbb{F}; R^q R_X R_u F) \rightarrow i^* R^{p+q} j_* F;$$

où  $i : X_s \rightarrow X$ . Soit  $R_\sigma^q = (R^q R_X R_u F)^P$ . Si  $\sigma$  est un générateur de  $\hat{Z}_p(1)$ , on a  $E_2^{0,q} = \text{Ker}(\sigma - 1; R_\sigma^q)$ ,  $E_2^{1,q} = \text{Coker}(\sigma - 1; R_\sigma^q)$  et  $E_2^{p,q} = 0$  pour  $p \notin \{0, 1\}$ . Donc  $R_j F$  est  $\mathbb{F}$ -entier.

Les résultats (2.5.1) et (2.5.3) pour  $S$  découlent de ces résultats pour  $s$  et pour  $\eta$  et de 5.3, en imitant les arguments dans [SGA4 $\frac{1}{2}$ , Th. finitude, 3.11, 3.12] comme suit. Le cas spécial  $f = j_X : Y_\eta \rightarrow Y$  résulte de 5.3 et de la suite spectrale de Hochschild-Serre

$$E_2^{p,q} = H^p(\mathbb{F}; R^q R_Y) \rightarrow i_X^* R^{p+q} j_Y;$$

où  $i_Y : Y_s \rightarrow Y$ . Traitons le cas général. Soit  $L \in D_c^b(X; \overline{\mathbb{Q}}_1)$  entier (resp.  $\mathbb{F}$ -entier inverse). Soient  $i_X : X_s \rightarrow X$ ,  $j_X : X_\eta \rightarrow X$ . On a les triangles distingués

$$\begin{aligned} i_X^* R i_X^! L &\rightarrow L \rightarrow R j_X^* j_X^! L; \\ R(f i_X) R i_X^! L &\rightarrow R f^* L \rightarrow R(f j_X) j_X^! L; \end{aligned}$$

D'après le cas spécial,  $R\mathbb{J}_X \mathbb{J}_X L$  est entier (resp.  $\mathbb{F}$ -entier inverse), donc  $Ri_X^! L$  l'est aussi. Comme  $f_{i_X} = i_Y f_s$ ,  $f_{j_X} = j_Y f_\eta$ , on conclut en appliquant (2.5.1) (resp. (2.5.3)) pour  $s$  et pour  $\eta$  et le cas spécial.

Une fois (2.5.1) et (2.5.3) établis pour  $S$ , on peut refaire 4.6 à 4.9 et 4.11, donnant la démonstration de 2.5 à 2.8, sauf (2.6.1) et (2.6.3). Les résultats (2.6.1) et (2.6.3) pour  $S$  découlent de leurs analogues pour  $s$  et pour  $\eta$ , en appliquant 4.6 pour  $S$  et (4.10.1) à  $U = Y_\eta$ ,  $W = Y_s$ . Notons que (2.7.3) et (2.7.1) pour  $S$  peuvent aussi se déduire de leurs analogues pour  $s$  et pour  $\eta$ , en appliquant (4.7.1) à  $U = X_\eta$ ,  $V = X_s$ .

**Variante 5.12.** On peut remplacer les faisceaux usuels partout par des faisceaux de Weil [Del80, 1.1.10]. Tous les résultats et les variantes qui précèdent restent valables.

**Variante 5.13.** Soit  $A$  un sous-anneau intégralement fermé de  $\overline{Q}_1$ . On pose

$$A^{-1} = \begin{matrix} n \\ \alpha \end{matrix} \overline{Q}_1 \quad \begin{matrix} o \\ \alpha^{-1} \end{matrix} \overline{2} A :$$

On fixe un plongement  $\iota : \overline{Q} \hookrightarrow \overline{Q}_1$ . Avec les notations du § 1, pour  $r \in \mathbb{Q}$ , un  $\overline{Q}_1$ -faisceau  $F$  sur un schéma  $X$  de type fini sur  $\eta$  est dit  $r$ - $A$ -entier (resp.  $r$ - $A$ -entier inverse) si pour tout  $x \in X$  les valeurs propres de  $\mathbb{H}_x$  sont dans  $\iota(\mathbb{Q}^r)A$  (resp.  $\iota(\mathbb{Q}^r)A^{-1}$ ), où  $\mathbb{Q}^r = \mathbb{J}_K(x)$ . Cette définition ne dépend pas des choix de  $\mathbb{H}_x$  et de  $\iota$ . On dit que  $F$  est  $A$ -entier (resp.  $A$ -entier inverse) s'il est  $0$ - $A$ -entier (resp.  $0$ - $A$ -entier inverse). On définit aussi la  $A$ -intégralité des complexes. Tous les résultats et les variantes restent valables pour ces notions.

Si  $A$  est de plus complètement intégralement clos [Bou85, V, § 1, n° 4, def. 5] (en particulier si  $A$  est la fermeture intégrale d'un sous-anneau noethérien intégralement clos de  $\overline{Q}_1$  [*ibid.*, exerc. 14]), alors d'après un lemme de Fatou [Ill06, 8.3],  $F$  est  $r$ - $A$ -entier si et seulement si pour tout  $x \in X$  et tout entier  $n \geq 1$ ,  $\text{Tr}(\begin{smallmatrix} n \\ x \end{smallmatrix}; \mathbb{F}_x)$  appartient à  $\iota(\mathbb{Q}^{nr})A$ . Ce critère n'a pas d'analogue pour les faisceaux entiers inverses.

Si on prend pour  $A$  la fermeture intégrale de  $Z$  dans  $\overline{Q}_1$ , on retrouve la notion d'intégralité dans ce qui précède.

Soit  $T$  un ensemble de nombres premiers. Si on prend pour  $A$  la fermeture intégrale de  $Z$  dans  $\overline{Q}_1$ , on retrouve la notion de  $T$ -intégralité dans [SGA7, XXI 5] et [DE06].

## 6 Appendice : Intégralité sur les champs algébriques

Soient  $K$  un corps fini de caractéristique  $p$  ou un corps local de caractéristique résiduelle  $p$ ,  $\eta = \text{Spec} K$ ,  $l$  un nombre premier  $\neq p$ . Pour  $X$  un  $\eta$ -champ algébrique [LMB00, 4.1] de type fini, on note  $\text{Mod}_c(X; \overline{Q}_1)$  la catégorie des  $\overline{Q}_1$ -faisceaux constructibles sur le site lisse-étale de  $X$  [*ibid.*, 12.1 (i)]. On dispose, par [LO06], d'une catégorie triangulée  $D_c(X; \overline{Q}_1)$  munie d'une  $t$ -structure de cœur  $\text{Mod}_c(X; \overline{Q}_1)$ . On écrira  $\text{Mod}_c(X)$  pour  $\text{Mod}_c(X; \overline{Q}_1)$  et  $D_c(X)$  pour  $D_c(X; \overline{Q}_1)$ . On dispose d'un formalisme de six opérations : pour  $f : X \rightarrow Y$  un morphisme de  $\eta$ -champs algébriques de type fini,

$$\begin{aligned} D_X &: D_c(X) \rightarrow D_c(X); \\ \mathbb{D}_X &: D_c(X) \rightarrow D_c(X); \\ \text{RH om}_X(\mathbb{L}, \mathbb{L}') &: D_c(X) \rightarrow D_c(X); \\ Rf &: D_c^+(X) \rightarrow D_c^+(Y); \\ Rf_! &: D_c(X) \rightarrow D_c(Y); \\ f^!; Rf^! &: D_c(Y) \rightarrow D_c(X); \end{aligned}$$

Si  $X$  est un  $\eta$ -champ de Deligne-Mumford de type fini,  $\text{Mod}_c(X)$  s'identifie à la catégorie des  $\overline{Q}_1$ -faisceaux constructibles sur le site *étale* de  $X$  [LMB00, 12.1 (ii)].

**Définition 6.1.** Soit  $\varepsilon : Z \rightarrow \mathcal{Q}$  une fonction. On dit que  $L \in D_c(X)$  est  $\varepsilon$ -entier (resp.  $\varepsilon$ -entier inverse) si pour tout point  $i : x \rightarrow X$  avec  $\kappa(x)$  une extension finie de  $K$  et tout  $a \in Z$ ,  $H^a(i^* L) \in \text{Mod}_c(x; \overline{\mathcal{Q}}_i)$  est  $\varepsilon(a)$ -entier (resp.  $\varepsilon(a)$ -entier inverse) (au sens de 2.1).

Si  $X$  est un schéma de type fini sur  $\eta$  et  $L \in D_c^b$ , alors cette définition coïncide avec 2.2.

Soit  $f : X \rightarrow Y$  un morphisme de  $\eta$ -champs algébriques de type fini. Si  $M \in D_c(Y)$  est  $\varepsilon$ -entier (resp.  $\varepsilon$ -entier inverse), il en est de même de  $f^* M \in D_c(X)$ . La réciproque est vraie lorsque  $f$  est surjectif. Cela donne le critère suivant :  $L \in D_c^b(X)$  est  $\varepsilon$ -entier (resp.  $\varepsilon$ -entier inverse) si et seulement si pour tout (ou pour un) morphisme surjectif  $g : X \rightarrow X'$  avec  $X'$  un schéma de type fini sur  $\eta$ ,  $g^* L$  est  $\varepsilon$ -entier (resp.  $\varepsilon$ -entier inverse) (au sens de 2.2). Pour  $r \in \mathcal{Q}$ ,

$$\begin{aligned} D_c(X)_{r\text{-ent}} &= D_c(X)_{r\text{-ent}} \cap D_c(X)_{r\text{-ent}}; \\ D_c(X)_{r\text{-ent}^{-1}} &= D_c(X)_{r\text{-ent}^{-1}} \cap D_c(X)_{r\text{-ent}^{-1}}; \end{aligned}$$

Pour  $F, G \in \text{Mod}_c(X)$  avec  $F$  lisse, si  $F$  est entier inverse (resp. entier) et  $G$  est entier (resp. entier inverse), on a

$$\text{Hom}(F, G) \in \text{Mod}_c(X)_{\text{ent}} \text{ (resp. } \text{Mod}_c(X)_{\text{ent}^{-1}} \text{)} :$$

On suppose dorénavant que  $X$  est non vide. Rappelons qu'une présentation  $P : X \rightarrow X$  est un morphisme surjectif lisse avec  $X$  un espace algébrique. On pose  $c_X = \min_P \dim P \in \mathbb{N}$ , où  $P$  parcourt les présentations  $P : X \rightarrow X$ ,  $\dim P = \sup_{x \in X} \dim_x P$  [LMB00, p. 98],  $d_X = \dim X \in \mathbb{Z}$  [ibid., (11.15)]. Par définition,  $d_X \geq 0$ . On a  $c_X = 0$  si et seulement si  $X$  est un  $\eta$ -champs de Deligne-Mumford. On pose  $c_r = \min_P \dim P \in \mathbb{N}$ , où le minimum est pris sur tous les systèmes

$$\begin{array}{ccc} X & \xrightarrow{P} & X \\ & & \downarrow Y \\ & & Y \xrightarrow{Q} X \\ & & \downarrow f \\ & & Y \end{array}$$

où  $P$  et  $Q$  sont des présentations et le carré est 2-cartésien,  $d_r = \dim f = \max_{\xi} \dim X_{\xi} \in \mathbb{Z}$ , où  $\xi$  parcourt les points de  $Y$ . On a  $d_r \geq 0$ . Rappelons que  $f$  est dit *relativement de Deligne-Mumford* [ibid., 7.3.3] si pour tout schéma affine  $Y$  et tout morphisme  $Y \rightarrow Y$ , le produit fibré  $Y \times_Y X$  est un  $\eta$ -champ de Deligne-Mumford. On a  $c_r = 0$  si et seulement si  $f$  est un morphisme relativement de Deligne-Mumford. On a  $c_r \geq 0$  et  $c_r \leq d_r$ .

**Proposition 6.2.** *Le foncteur  $D_X$  induit*

$$\begin{aligned} D_c(X)_{\text{ent}^{-1}} &\cap D_c(X)_{d_X\text{-ent}}; \\ D_c(X)_{\text{ent}^{-1}} &\cap D_c(X)_{(1-c_X)\text{-ent}}; \\ D_c(X)_{\text{ent}} &\cap D_c(X)_{(1+d_X)\text{-ent}^{-1}}; \\ D_c(X)_{\text{ent}} &\cap D_c(X)_{c_X\text{-ent}^{-1}}; \end{aligned}$$

De plus, pour  $F \in \text{Mod}_c(X)_{\text{ent}^{-1}}$ ,  $H^a(D_X F)$  est  $(a - c_X + 1)$ -entier,  $a \geq c_X - 1$ .

*Démonstration.* On prend une présentation  $P : X \rightarrow X$  purement de dimension  $c_X$  avec  $X$  un schéma de type fini sur  $\eta$ . On a  $\dim X = d_X + c_X$ . Pour  $L \in D_c(X)$ ,  $P^* D_X L \in D_X R P^* L \in (D_X P^* L) \otimes_{\mathcal{Q}} [2c_X]$ . Comme l'amplitude cohomologique de  $D_X$  est bornée, il suffit donc d'appliquer 2.7.  $\square$

**Proposition 6.3.** *Le foncteur  $Rf^!$  induit*

$$\begin{aligned} D_c(Y)_{\text{ent}} & \rightarrow D_c(X)_{d_r\text{-ent}}; \\ D_c(Y)_{I\text{-ent}} & \rightarrow D_c(X)_{(I+d_Y+c_Y+c_r)\text{-ent}}; \\ D_c(Y)_{I\text{-ent}^1} & \rightarrow D_c(X)_{(I+d_r)\text{-ent}^1}; \\ D_c(Y)_{\text{ent}^1} & \rightarrow D_c(X)_{(d_Y+c_Y+c_r)\text{-ent}^1}; \end{aligned}$$

*Démonstration.* Formons le diagramme à carré 2-cartésien

$$\begin{array}{ccc} X & \xrightarrow{P} & X \\ & & \downarrow f_Y \\ X & \xrightarrow{Q} & Y \\ & & \downarrow f \\ Y & \xrightarrow{Q} & Y \end{array}$$

où  $Q$  est une présentation purement de dimension  $c_Y$ ,  $P$  est une présentation purement de dimension  $c_r$ ,  $Y$  est un schéma quasi-compact,  $X$  est un schéma affine (donc séparé sur  $Y$ ). On a  $\dim Y = d_Y + c_Y$ ,  $\dim(f_Y^{-1}(P)) = d_r + c_r$ . Pour  $L \in D_c(Y)$ ,  $(Q^0 \circ P)Rf^!L \simeq P Rf_Y^!Q \otimes L \simeq R(f_Y^{-1}P) \otimes L \simeq R(f_Y^{-1}Q) \otimes L$ . Il suffit alors d'appliquer 2.6.  $\square$

**Proposition 6.4.** *Le foncteur  $Rf$  induit*

$$(6.4.1) \quad D_c^+(X)_{\text{ent}} \rightarrow D_c^+(Y)_{\text{ent}};$$

$$(6.4.2) \quad D_c^+(X)_{I\text{-ent}^1} \rightarrow D_c^+(Y)_{I\text{-ent}^1};$$

et  $Rf_!$  induit

$$(6.4.3) \quad D_c(X)_{I\text{-ent}} \rightarrow D_c(Y)_{(I+d_r)\text{-ent}};$$

$$(6.4.4) \quad D_c(X)_{\text{ent}^1} \rightarrow D_c(Y)_{d_r\text{-ent}^1};$$

Si  $f$  est relativement de Deligne-Mumford,  $Rf$  induit

$$(6.4.5) \quad D_c^+(X)_{I\text{-ent}} \rightarrow D_c^+(Y)_{(I+d_X+c_Y)\text{-ent}};$$

$$(6.4.6) \quad D_c^+(X)_{\text{ent}^1} \rightarrow D_c^+(Y)_{(d_X+c_Y)\text{-ent}^1};$$

et  $Rf_!$  induit

$$(6.4.7) \quad D_c(X)_{\text{ent}} \rightarrow D_c(Y)_{\text{ent}};$$

$$(6.4.8) \quad D_c(X)_{I\text{-ent}^1} \rightarrow D_c(Y)_{I\text{-ent}^1};$$

*Démonstration.* Soit  $Y \rightarrow Y$  une présentation avec  $Y$  est un schéma de type fini sur  $\eta$ . Pour (6.4.1) et (6.4.2), quitte à remplacer  $Y$  par  $Y$ , on peut supposer que  $Y$  est un schéma. On prend un hyperrecouvrement lisse  $P : X \rightarrow Y$  où les  $X_n$  sont des schémas affines (donc séparés sur  $Y$ ). Pour  $L \in D_c^+(X)$ ,  $Rf^!L \simeq Rf^!RP \otimes L$ . Il suffit alors d'appliquer (2.5.1) et (2.5.3).

Pour les résultats concernant  $Rf_!$ , on peut supposer que  $Y$  est le spectre d'un corps. On a  $d_X = d_r$ . Alors (6.4.3) et (6.4.4) découlent du dernier alinéa et de 6.2 :  $Rf_! = D_Y Rf D_X$  induit

$$\begin{aligned} D_c(X)_{I\text{-ent}} & \xrightarrow{D_X} D_c^+(X)_{(I+d_X)\text{-ent}^1} \xrightarrow{Rf^!} D_c^+(Y)_{(I+d_X)\text{-ent}^1} \xrightarrow{D_Y} D_c(Y)_{(I+d_X)\text{-ent}}; \\ D_c(X)_{\text{ent}^1} & \xrightarrow{D_X} D_c^+(X)_{d_X\text{-ent}} \xrightarrow{Rf^!} D_c^+(Y)_{d_X\text{-ent}} \xrightarrow{D_Y} D_c(Y)_{d_X\text{-ent}}; \end{aligned}$$

Pour (6.4.7) et (6.4.8), on est donc ramené au cas où  $X$  est un  $\eta$ -champ de de Deligne-Mumford. On fait une récurrence sur  $d_X$ . Il existe une immersion ouverte dominante

$j : U \rightarrow X$  et un morphisme fini étale  $\pi : U \rightarrow U$ , où  $U$  est un schéma affine [LMB00, 6.1.1]. Soient  $Z$  le fermé complémentaire de  $U$  dans  $X$ ,  $i : Z \rightarrow X$ . Pour  $L \in D_{\mathbb{C}}(X)$ , le triangle distingué

$$j_! j^* L \rightarrow L \rightarrow i_! i^* L$$

induit le triangle distingué

$$R(f_!)j_! j^* L \rightarrow Rf_! L \rightarrow R(f_!)i_! i^* L$$

Comme  $j_! j^* L$  est facteur direct de  $\pi^* \pi_! j_! j^* L$ , il suffit d'appliquer (2.4.1) et (2.4.3) à  $R(f_! \pi)_! (j_! \pi^* L)$  et l'hypothèse de récurrence à  $R(f_!)j_! j^* L$ .

Enfin, (6.4.5) et (6.4.6) résultent du dernier alinéa et de 6.2 :  $Rf^* \rightarrow D_Y Rf_! D_X$  induit

$$\begin{aligned} D_{\mathbb{C}}^+(X)_{\text{I-ent}} \xrightarrow{D_X} D_{\mathbb{C}}(X)_{(\text{I}+d_X)\text{-ent}} \xrightarrow{Rf_!} D_{\mathbb{C}}(Y)_{(\text{I}+d_X)\text{-ent}} \xrightarrow{D_Y} D_{\mathbb{C}}^+(Y)_{(\text{I}+d_X+d_Y)\text{-ent}}; \\ D_{\mathbb{C}}^+(X)_{\text{ent}} \xrightarrow{D_X} D_{\mathbb{C}}(X)_{d_X\text{-ent}} \xrightarrow{Rf_!} D_{\mathbb{C}}(Y)_{d_X\text{-ent}} \xrightarrow{D_Y} D_{\mathbb{C}}^+(Y)_{(d_X+d_Y)\text{-ent}}. \end{aligned}$$

□

**Corollaire 6.5.** *L'assertion (2.5.2) est vraie sans hypothèse de séparation.*

*Démonstration.* C'est un cas particulier de (6.4.5). □

**Remarque.** (i) Le premier alinéa de la démonstration de 6.4 montre que  $Rf^*$  envoie  $M \in D_{\mathbb{C}}(X)_{\text{ent}}$  dans  $D_{\mathbb{C}}^+(Y)_{\text{E-ent}}$ , où

$$\varepsilon(a) = \begin{cases} a & \text{si } 0 \leq a \leq d_X + d_Y; \\ a - E\left(\frac{a - d_X - d_Y}{d_X + 1}\right) & \text{si } a > d_X + d_Y. \end{cases}$$

Ici  $E$  est la fonction partie entière. Lorsque  $f$  n'est ni propre ni relativement de Deligne-Mumford, ceci légèrement améliore (6.4.2). On peut en déduire une légère amélioration de (6.4.3).

(ii) Si  $f$  est un morphisme quasi-fini séparé relativement de Deligne-Mumford avec  $d_X + d_Y \geq 1$ , on a un analogue de 4.8 qui améliore (6.4.5) :  $Rf^*$  envoie  $D_{\mathbb{C}}^+(X)_{\text{I-ent}}$  dans  $D_{\mathbb{C}}^+(Y)_{(\text{I}+1+d_X+d_Y)\text{-ent}}$ .

**Proposition 6.6.** *Le foncteur  $R\text{Hom}(\cdot, \cdot)$  induit*

$$\begin{aligned} D_{\mathbb{C}}(X)_{\text{ent}} \otimes D_{\mathbb{C}}^+(X)_{\text{ent}} &\rightarrow D_{\mathbb{C}}^+(X)_{\text{ent}}; \\ D_{\mathbb{C}}(X)_{\text{I-ent}} \otimes D_{\mathbb{C}}^+(X)_{\text{I-ent}} &\rightarrow D_{\mathbb{C}}^+(X)_{(\text{I}+d_X+d_Y)\text{-ent}}; \\ D_{\mathbb{C}}(X)_{\text{I-ent}} \otimes D_{\mathbb{C}}^+(X)_{\text{I-ent}} &\rightarrow D_{\mathbb{C}}^+(X)_{\text{I-ent}}; \\ D_{\mathbb{C}}(X)_{\text{ent}} \otimes D_{\mathbb{C}}^+(X)_{\text{ent}} &\rightarrow D_{\mathbb{C}}^+(X)_{(d_X+d_Y)\text{-ent}}. \end{aligned}$$

*Démonstration.* On procède comme en 4.11. □

On peut aussi considérer l'intégralité sur les champs algébriques sur un trait de corps résiduel fini, ce qui généralise 5.11. Les résultats sont similaires à ceux exposés dans ce §, avec des modifications appropriées des estimations de dimension.

Les variantes 5.12 et 5.13 restent toujours valables.

## Bibliographie

- [BBD82] A. A. BEĪLINSON, J. BERNSTEIN et P. DELIGNE – « Faisceaux pervers », *Analyse et topologie sur les espaces singuliers (I)*, Astérisque, vol. 100, Soc. math. France, 1982, p. 5–171.
- [BO78] P. BERTHELOT et A. OGUS – *Notes on crystalline cohomology*, Princeton Univ. Press, 1978.
- [Bou85] N. BOURBAKI – *Algèbre commutative, chapitres V à VII*, Éléments de mathématique, Masson, 1985.
- [DE06] P. DELIGNE et H. ESNAULT – « Appendix to “Deligne’s integrality theorem in unequal characteristic and rational points over finite fields” », *Ann. Math. (2)* **164** (2006), p. 726–730.
- [Del80] P. DELIGNE – « La conjecture de Weil : II », *Publ. math. IHÉS* **52** (1980), p. 137–252.
- [dJ96] A. J. DE JONG – « Smoothness, semi-stability and alterations », *Publ. math. IHÉS* **83** (1996), p. 51–93.
- [Eke90] T. EKEDAHL – « On the adic formalism », *The Grothendieck Festschrift*, vol. II, Progr. Math., vol. 87, Birkhäuser, 1990, p. 197–218.
- [Fuj02] K. FUJIWARA – « A proof of the absolute purity conjecture (after Gabber) », *Algebraic geometry 2000, Azumino*, Adv. Stud. Pure Math., vol. 36, Math. Soc. Japan, 2002, p. 153–183.
- [Gro57] A. GROTHENDIECK – « Sur quelques points d’algèbre homologique », *Tôhoku Math. J. (2)* **9** (1957), p. 119–221.
- [Ill02] L. ILLUSIE – « Sur la formule de Picard-Lefschetz », *Algebraic geometry 2000, Azumino*, Adv. Stud. Pure Math., vol. 36, Math. Soc. Japan, 2002, p. 249–268.
- [Ill04] ———, « On semistable reduction and the calculation of nearby cycles », *Geometric aspects of Dwork theory*, vol. II, Walter de Gruyter, 2004, p. 785–803.
- [Ill06] ———, « Miscellany on traces in  $\mathbb{L}$ -adic cohomology: a survey », *Japanese J. Math. (3)* **1** (2006), p. 107–136.
- [LMB00] G. LAUMON et L. MORET-BAILLY – *Champs algébriques*, Springer, 2000.
- [LO06] Y. LASZLO et M. OLSSON – « The six operations for sheaves on Artin stacks II: adic coefficients », [arXiv:math/0603680v1](https://arxiv.org/abs/math/0603680v1), 2006.
- [Org03] F. ORGOGOZO – « Altérations et groupe fondamental premier à  $p$  », *Bull. Soc. math. France* **131** (2003), p. 123–147.
- [Ser98] J.-P. SERRE – *Représentations linéaires des groupes finis*, 5<sup>e</sup> éd., Hermann, 1998.
- [Zhe] W. ZHENG – « Sur l’indépendance de 1 en cohomologie  $\mathbb{L}$ -adique sur les corps locaux », en préparation.
- [EGAIV] A. GROTHENDIECK – « Éléments de géométrie algébrique : IV. Étude locale des schémas et des morphismes de schémas », *Publ. math. IHÉS* **20**, **24**, **28**, **32** (1964–1967).
- [SGA1] *Revêtements étales et groupe fondamental* – Séminaire de géométrie algébrique du Bois-Marie 1960–1961, dirigé par A. Grothendieck, Documents math., vol. 3, Soc. math. France, 2003.
- [SGA4] *Théorie des topos et cohomologie étale des schémas* – Séminaire de géométrie algébrique du Bois-Marie 1963–1964, dirigé par M. Artin, A. Grothendieck, J.-L. Verdier, LNM, vol. 269, 270, 305, Springer-Verlag, 1972–1973.
- [SGA4 $\frac{1}{2}$ ] P. DELIGNE – *Cohomologie étale*, LNM, vol. 569, Springer-Verlag, 1977.

- [SGA7] *Groupes de monodromie en géométrie algébrique* – Séminaire de géométrie algébrique du Bois-Marie 1967–1969, I, dirigé par A. Grothendieck, II, par P. Deligne, N. Katz, LNM, vol. 288, 340, Springer-Verlag, 1972–1973.